

en Empleo, Sociedad
Digital y Sostenibilidad
Universidad Zaragoza

# El desempeño económico del EU ETS

(Régimen de Comercio de Derechos de Emisión de la Unión Europea)



- El problema del cambio climático se ha convertido en un tema de preocupación mundial en los ámbitos científico, político y económico.
- El calentamiento global se produce por un incremento de la concentración en la atmósfera de los gases de efecto invernadero que se debe sobre todo al consumo de combustibles fósiles, como el carbón, petróleo y el gas en la producción de energía, en el transporte y en la industria.
- El Comercio de Derecho de Emisiones tiene su origen en el Protocolo de Kioto. Es un instrumento de mercado que persigue que un conjunto de plantas industriales reduzcan colectivamente las emisiones de gases contaminantes a la atmósfera.





- Algunos elementos relevantes dentro de este comercio son:
- ✓ Techo de emisiones o volumen total de derechos de emisión que se ponen en circulación. El techo se sitúa por debajo de lo que correspondería a un escenario de emisiones tendenciales, dando valor económico al derecho de emisión al crear escasez.
- ✓ Derecho de emisión o derecho a emitir una determinada cantidad de gases a la atmósfera. Es un bien transferible: se puede comprar o vender.
- ✓ Asignación de derechos es el mecanismo por el que se reparten los derechos de emisión entre las instalaciones afectadas. Puede hacerse de forma gratuita, mediante subasta, etc.



- ✓ Registro de derechos que es un registro electrónico que sirve para llevar la contabilidad de los derechos de emisión en circulación: cuántos hay y a quién pertenecen.
- ✓ Cumplimiento por el que las instalaciones afectadas por el comercio de derechos de emisión deben entregar una cantidad de derechos equivalente a las emisiones reales producidas. Este régimen sancionador garantiza su cumplimiento, estableciendo multas por tonelada de gas emitida que no haya quedado cubierta por un derecho de emisión.



- Existen mercados de emisiones que operan en distintos países, que implican a muchos sectores y que afectan a diferentes gases de efecto invernadero.
- El 1 de enero de 2005, la Unión Europea puso en marcha el mercado de CO<sub>2</sub> más ambicioso hasta la fecha, el EU ETS (European Union Emissions Trading System), centrado en las emisiones que se pueden medir, registrar y comprobar con una elevada precisión.
- El EU ETS afecta globalmente a más de 10.000 instalaciones;
   más de 2.000 millones de toneladas de CO<sub>2</sub> y en torno al 45% de las emisiones totales de gases de efecto invernadero.
- En el caso español afecta a casi 1.100 instalaciones y un 45% de las emisiones totales nacionales de todos los gases de efecto invernadero.





- En el sistema EU ETS se diferencian cuatro fases.
  - ✓ La Fase I, comprendida entre el 1 de enero de 2005 y el 31 de diciembre de 2007, fue una fase piloto de "aprendizaje práctico". Durante esta fase se creó la infraestructura necesaria para controlar, registrar y verificar las emisiones reales de las empresas afectadas.
  - ✓ La Fase II, entre el 1 de enero de 2008 y el 31 de diciembre de 2012, coincidió con el "primer período de compromiso" del Protocolo de Kioto. Un período de cinco años durante el que la UE y sus Estados miembros debían cumplir sus objetivos de emisiones.



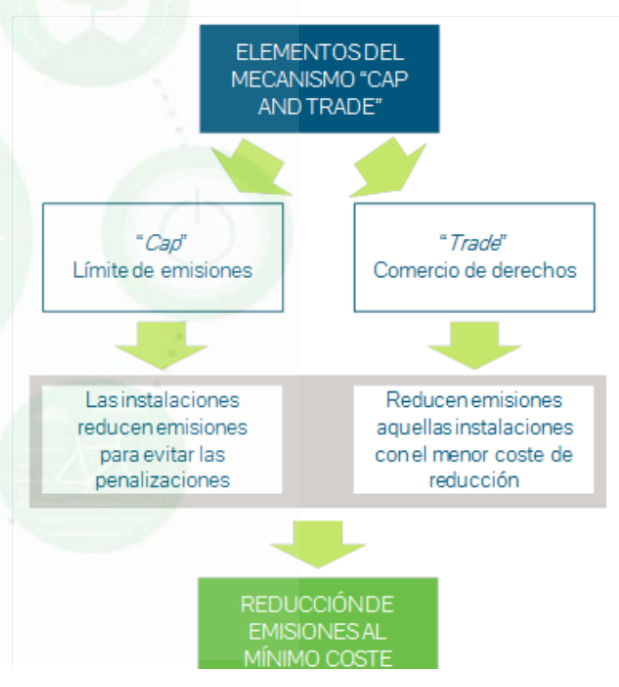


- ✓ La Fase III del EU ETS va desde el 1 de enero de 2013 hasta el 31 de diciembre de 2020. Esta fase impone objetivos de reducción de emisiones más exigentes y la cantidad total a asignar a nivel europeo disminuye linealmente un 1,74% anual durante el periodo 2013-2020.
- ✓ La Fase IV del EU ETS va desde el 1 de enero de 2021 hasta el 31 de diciembre de 2030. Los principios de la Fase III siguen siendo los mismos durante este cuarto período. Se amplia el esquema a más sectores industriales y nuevos gases de efecto invernadero.



Es un esquema "cap and trade", un mecanismo de mercado para incentivar la reducción de emisiones de gases de CO<sub>2</sub> al mínimo coste. El funcionamiento de este esquema se basa en dos conceptos clave:

- (a) tope de emisiones ("cap")
- (b) comercio de derechos de emisión ("trade") con un valor económico ya que existe sólo un número finito. Los factores determinantes de este valor económico son:
  - penalización por incumplir
  - coste de los "sustitutivos







Objetivo UE:
reducir emisiones
gases efecto
invernadero
producidas por el
hombre







Compañías tienen incentivos a invertir en tecnología limpia

-

Precios de EUA
(European Union Allowances)

La entrada de tecnologías menos contaminantes (como las energías renovables) alivian el esfuerzo de reducción de emisiones.

Un crecimiento económico sostenido a medio o largo plazo y **límites de emisiones cada vez más restrictivos** en el futuro provocan que el **precio de los derechos de emisión sea cada vez mayor**, al ser más costoso alcanzar reducciones adicionales de emisiones.



Dentro de este contexto, nuestro interés se centra en analizar el desempeño económico del EU ETS desde el punto de vista de tres agentes:

- 1) Responsables políticos. Los responsables políticos al tomar sus decisiones deberían considerar no solo la reducción de CO<sub>2</sub>, sino también la influencia de este objetivo de reducción de la contaminación en el desempeño económico de las empresas. Es decir, se trata de reducir las emisiones de gases de efecto invernadero pero de una manera rentable y económicamente eficiente.
- 2) Empresas. En ese caso, interesa analizar la evolución de la eficiencia técnica y medioambiental de las empresas españolas, hasta qué punto las empresas son responsables en su producción.
- 3) Inversores. Análisis de la interrelación entre los precios de los derechos y los mercados bursátiles energéticos.





# El desempeño económico del EU ETS desde el punto de vista de los responsables políticos







Contents lists available at ScienceDirect

#### Journal of Cleaner Production

journal homepage: www.elsevier.com/locate/jclepro



#### Environmental versus economic performance in the EU ETS from the point of view of policy makers: A statistical analysis based on copulas



Sara Segura <sup>a</sup>, Luis Ferruz <sup>a</sup>, Pilar Gargallo <sup>b</sup>, Manuel Salvador <sup>b, \*</sup>



<sup>&</sup>lt;sup>a</sup> Departamento de Contabilidad y Finanzas, Facultad de Economía y Empresa, University of Zaragoza, Spain

b Departamento de Estructura e Historia Económica y Economía Pública, Facultad de Economía y Empresa, University of Zaragoza, Spain

# **OBJETIVO**

Este artículo analiza la relación entre el desempeño económico y ambiental de una muestra de empresas españolas implicadas en el EU ETS con el fin de proporcionar más información a las instituciones responsable de desarrollar estas políticas.

El desempeño ambiental se mide como la proporción de emisiones de CO<sub>2</sub> por encima de los derechos de emisión asignados (ratio EA):

$$EA_{i,t} = \frac{E_{i,t}}{A_{i,t}}$$

donde A<sub>i,t</sub> representa los derechos de emission  $EA_{i,t} = \frac{E_{i,t}}{A_{i,t}}$  asignados, y  $E_{i,t}$  representa las emisiones de  $CO_2$ emitidas realmente por la empresa i en el instante t.



# **OBJETIVO**

Este artículo analiza la relación entre el desempeño económico y ambiental de una muestra de empresas españolas implicadas en el EU ETS con el fin de proporcionar más información a las instituciones responsable de desarrollar estas políticas.

El **desempeño ambiental** se mide como la proporción de emisiones de CO<sub>2</sub> por encima de los derechos de emisión asignados (ratio EA):

Efecto de la producción sobre las emisiones de CO<sub>2</sub>

Rotación de activos

**ATR** = Ingresos de explotación/Total de activos Asset Turnover Ratio = Operating revenue/Assets Efecto de las emisiones de CO<sub>2</sub> sobre la rentabilidad

Rentabilidad de los activos

**Desempeño económico** — Resultado de explotación (Beneficio neto)/Total de activos **ROA** = Return on Assets = Operating income/Assets





# **METODOLOGÍA**

Para abordar nuestro objetivo de analizar, por un lado, el efecto de la producción (ATR) sobre las emisiones de CO<sub>2</sub> (EA) y, por otro lado, el efecto de la emisión de CO<sub>2</sub> (EA) sobre la rentabilidad (ROA) determinamos sendas regresiones cuantil que describen esta influencia, no solo en el centro de su distribución conjunta, sino también en las zonas intermedias y en las colas, lo que le da un mayor nivel de profundidad al estudio.

Utilizamos una metodología estadística basada en cópulas que nos permite analizar la relación entre estas variables sin requerir los supuestos de normalidad y linealidad conjunta (que no se cumplen), dotando así al estudio de una mayor flexibilidad y realismo.



# **METODOLOGÍA**

Para eliminar algunos posibles sesgos, incluimos un conjunto de características que pueden influir en la relación entre el desempeño medioambiental y el desempeño económico. Estas características son:

**Tamaño de la empresa medido a través de su total de activos** (log(Assets)) puesto que afecta tanto al nivel de emisiones de CO<sub>2</sub> como a los resultados económicos.

Riesgo de la empresa medido a través de la relación deuda-capital. Cuanto más alta sea la relación, más utiliza la empresa la deuda para financiar sus operaciones. Por tanto, si sus ingresos caen, no podrá cumplir con los pagos de la deuda. Mientras que una empresa con un ratio bajo estará mejor preparada para hacer frente a una disminución ingresos.

Sector de la empresa que influye tanto en el nivel de sus emisiones de CO<sub>2</sub> como en los resultados económicos. Hemos dividido las empresas en 4 sectores (empresas energéticas, empresas químicas y de procesamiento de metales, otras industrias manufactureras (alimentación, textil, cuero, calzado y confección, caucho y papel) y otros sectores (construcción, transporte y comunicaciones y servicios).





# METODOLOGÍA (Efecto ATR sobre EA)

Sea  $N_t$  el número de empresas observadas en el período  $t \in \{1, ..., T\}$ .

Sean  $\{(EA_{i,t}, ROA_{i,t}, ATR_{i,t}, Size_{i,t}, Risk_{i,t}, Sector_{i,t})'; i = 1, ..., N_t; t = 1, ..., T\}$  los datos observados

La influencia de ATR en EA se estima con las líneas de regresión cuantil condicionales:

$$EA_t = Q_{p,t}(EA_t|ATR_t,Size_t,Risk_t,\pmb{Sector}_t) \ \ 0$$

Para calcularlas usamos cópulas para modelar la distribución conjunta condicional

$$F_{1,2,t}(ATR_t,EA_t|Size_t,Risk_t,\textbf{Sector}_t) = C_t(F_{1,t}(ATR_t|Size_t,Risk_t,\textbf{Sector}_t), \ F_{2,t}(EA_t|Size_t,Risk_t,\textbf{Sector}_t))$$

$$F_{1,t}(ATR_t|Size_t,Risk_t,Sector_t),$$
  
 $F_{2,t}(EA_t|Size_t,Risk_t,Sector_t))$ 

distribuciones marginales

 $C_t(u_1,u_2)$  **función de cópula** que modela la relación de dependencia entre ATR y EA condicionada al Tamaño (Size), Riesgo (Risk) y Sector (Sector) en el período t





# METODOLOGÍA (Efecto ATR sobre EA)

```
f_{1,2,t}(ATR_t,EA_t|Size_t,Risk_t,Sector_t) = c_t(F_{1,t}(ATR_t|Size_t,Risk_t,Sector_t),

F_{2,t}(EA_t|Size_t,Risk_t,Sector_t)) f_{1,t}(ATR_t|Size_t,Risk_t,Sector_t)

f_{2,t}(EA_t|Size_t,Risk_t,Sector_t)
```

A partir de aqui se puede obtener la función de densidad condicionada

EAt ATRt, Sizet, Riskt, Sectort

dada por:

$$f_{2|1,t}(EA_t|ATR_t,Size_t,Risk_t,Sector_t) = c_t(F_{1,t}(ATR_t|Size_t,Risk_t,Sector_t), F_{2,t}(EA_t|Size_t,Risk_t,Sector_t))f_{1,t}(ATR_t|Size_t,Risk_t,Sector_t)$$

el cuantil  $Q_{p,t}(EA_t|ATR_t, Size_t,Risk_t, Sector_t)$  será calculado resolviendo la ecuación:

$$\begin{split} P\big(\text{EA}_t \leq Q_{p,t}(\text{EA}_t|\text{ATR}_t, \text{Size}_t, \text{Risk}_t, \textbf{Sector}_t)|\text{ATR}_t, \text{Size}_t, \text{Risk}_t, \textbf{Sector}_t\big) = \\ Q_{p,t}(\text{EA}_t|\text{ATR}_t, \text{Size}_t, \text{Risk}_t, \textbf{Sector}_t) \\ \int \\ f_{2|1,t}(y|\text{ATR}_t, \text{Size}_t, \text{Risk}_t, \textbf{Sector}_t) dy = p \end{split}$$





# **RESULTADOS**

Existencia de tres períodos correspondientes a las Fases I, II y III del EU ETS.

- ✓ Durante la Fase I (2005-2007), la relación entre EA y ROA fue débil y, en el caso del EA y ATR no fue significativa.
- ✓ En la Fase II (2008-2012), la eficiencia del EU ETS fue mayor, las asignaciones se
  ajustaron mejor a las actividades de las empresas y las empresas con valores
  de EA cercanos a 1 fueron las más productivas y rentables.
- ✓ La misma tendencia ocurrió en la Fase III (2013-2015), donde se observó una reducción significativa de los niveles de emisiones de CO₂ pero con valores de EA más altos e incluso mayores que 1, especialmente en los sectores de Energía y Otras Manufacturas (incluyendo Alimentos, Textiles, Cuero, Calzado y Vestuario, y Caucho). e industrias del papel).

Por tanto, aunque la política medioambiental del EU ETS cumplía parcialmente su objetivo de reducir las emisiones de CO<sub>2</sub>, parecía necesario fomentar las inversiones verdes para disminuir los niveles demasiado altos de EA, y así cumplir con la política de asignación de derechos de emisión de la Unión Europea.



# El desempeño económico del EU ETS desde el punto de vista de las empresas





# **OBJETIVOS**

Nos centramos en las las empresas energéticas españolas que integraban el EU ETS en el período 2005-2012 con dos objetivos en mente:

#### **Objetivo 1)**

Dado que estas empresas tenían como objetivo aumentar la eficiencia energética, se pretendían medir sus eficiencias técnica y medioambiental.

#### **Objetivo 2)**

Dado que estas empresas tenían límites de emisiones de CO<sub>2</sub> impuestos por el EU ETS, se pretendía analizar su relación con su nivel óptimo de emisiones, teniendo en cuenta las características de cada empresa. De esta manera tratamos de calibrar si las políticas de control del EU ETS fueron demasiado estrictas o demasiado indulgentes.



# **METODOLOGÍA**

Para medir la eficiencia técnica y ambiental de cada empresa utilizamos un modelo de frontera estocástica con dos outputs: uno bueno (producción) y uno malo (emisiones).

Para estimar el modelo utilizamos métodos bayesianos, que son muy útiles para estimar modelos con variables latentes, como en nuestro caso lo son la eficiencia técnica y ambiental.

La frontera medioambiental estimada proporciona, para cada empresa, su nivel óptimo de emisiones de CO<sub>2</sub>, que se compara con su límite impuesto por el EU ETS utilizando la técnica de la regresión cuantil. De esta forma, analizando las discrepancias entre ambas cantidades, se podía calibrar el nivel de exigencia de las políticas de control de EU ETS.



Consideramos un **panel desequilibrado** de i = 1, ..., N empresas, donde cada empresa i había sido observada en el período  $t \in T_i$ , donde

$$T_i \subset \{1,..., T\}.$$

La i-ésima empresa en el período t producía un **output bueno**  $Y_{i,t}$  y un **output malo**  $B_{i,t}$  a partir de un vector de **inputs**  $\mathbf{x}_{i,t}$ .



Consideramos un **panel desequilibrado** de i = 1, ..., N empresas, donde cada empresa i había sido observada en el período  $t \in T_i$ , donde

$$T_i \subset \{1,..., T\}.$$

Electricidad producida por las centrales eléctricas



La i-ésima empresa en el período t producía un output bueno  $Y_{i,t}$  y un output malo  $B_{i,t}$  a partir de un vector de inputs  $\mathbf{x}_{i,t}$ .



Emisiones de CO<sub>2</sub> liberadas durante el proceso de generación de electricidad



Vector de insumos necesarios para obtener estos productos (Trabajo, Capital y Suministros)

Consideramos un **panel desequilibrado** de i = 1, ..., N empresas, donde cada empresa i había sido observada en el período  $t \in T_i$ , donde

$$T_i \subset \{1,..., T\}.$$

Electricidad producida por las centrales eléctricas



La i-ésima empresa en el período t producía un output bueno  $Y_{i,t}$  y un output malo  $B_{i,t}$  a partir de un vector de inputs  $\mathbf{x}_{i,t}$ .



Emisiones de CO<sub>2</sub> liberadas durante el proceso de generación de electricidad



Vector de insumos necesarios para obtener estos productos (Trabajo, Capital y Suministros)

Inputs: Mano de obra (Gastos de personal en millones de euros), Capital (Amortización de activos en millones de euros) y Suministros (Suministros tales como compras de energía, combustible gastos de consumo y transporte en millones de euros).

Consideramos un **panel desequilibrado** de i = 1, ..., N empresas, donde cada empresa i había sido observada en el período  $t \in T_i$ , donde

$$T_i \subset \{1,..., T\}.$$

La i-ésima empresa en el período t producía un **output bueno**  $Y_{i,t}$  y un **output malo**  $B_{i,t}$  a partir de un vector de **inputs**  $\mathbf{x}_{i,t}$ .

Para la frontera de producción consideramos una especificación Cobb-Douglas que contiene un término independiente y es lineal en los logaritmos de los inputs. Para la frontera medioambiental consideramos que era función únicamente del output bueno. Para capturar la influencia de variables omitidas a lo largo del tiempo incluimos variables dummy de tiempo.



#### MODELO DE FRONTERA DE PRODUCCIÓN

Máximo nivel de producción para una cantidad de inputs dada

$$y_{i,t} = \mathbf{x}_{i,t}^{y} \mathbf{\beta}_{y} - \mathbf{z}_{i}^{y} + \varepsilon_{i,t}^{y} \text{ con } \varepsilon_{i,t}^{y} \sim N(0,\sigma_{y}^{2})$$

$$y_{i,t} = \log(Y_{i,t})$$

$$\mathbf{x}_{i,t}^{'} = \left(\log(\text{Labour}_{i,t}), \log(\text{Capital}_{i,t}), \log(\text{Supplies}_{i,t}), I_{2005}, I_{2006}, I_{2007}, I_{2008}, I_{2009}, I_{2010}, I_{2011}, I_{2012}\right)$$

#### MODELO DE FRONTERA MEDIOAMBIENTAL

Nivel mínimo de emisiones de CO<sub>2</sub> para un nivel dado de producción energética

$$b_{i,t} = \mathbf{y}_{i,t}^{b} \mathbf{\beta}_{b} + z_{i}^{b} + \varepsilon_{i,t}^{b} \text{ con } \varepsilon_{i,t}^{b} \sim N(0, \sigma_{b}^{2})$$

$$\mathbf{b}_{i,t} = \log(\mathbf{B}_{i,t})$$

$$\mathbf{y}_{i,t}' = (\log(Y_{i,t}), I_{2005}, I_{2006}, I_{2007}, I_{2008}, I_{2009}, I_{2010}, I_{2011}, I_{2012})$$





#### MODELO DE FRONTERA DE PRODUCCIÓN

Desviaciones del nivel máximo de producción.

Cuanto mayor es su valor más ineficiente técnicamente es la empresa

Ineficiencia técnica

$$y_{i,t} = \mathbf{x}_{i,t}^{'} \mathbf{\beta}_{y} - \mathbf{z}_{i}^{y} + \varepsilon_{i,t}^{y} \text{ con } \varepsilon_{i,t}^{y} \sim N(0,\sigma_{y}^{2})$$

$$y_{i,t} = \log(Y_{i,t})$$

 $\mathbf{x}'_{i,t} = (\log(\text{Labour}_{i,t}), \log(\text{Capital}_{i,t}), \log(\text{Supplies}_{i,t}), I_{2005}, I_{2006}, I_{2007}, I_{2008}, I_{2009}, I_{2010}, I_{2011}, I_{2012})$ 

#### MODELO DE FRONTERA MEDIOAMBIENTAL

Desviaciones del nivel mínimo de emisiones.

Cuanto mayor es su valor más ineficiente ambientalmente es la empresa

$$b_{i,t} = \mathbf{y}_{i,t}^{'} \boldsymbol{\beta}_b + \mathbf{z}_i^b + \epsilon_{i,t}^b \text{ con } \epsilon_{i,t}^b \sim N(0, \sigma_b^2)$$

$$b_{i,t} = log(B_{i,t})$$
 Ineficiencia medioambiental

$$\mathbf{y}_{i,t}^{'} = \left(\log\left(Y_{i,t}\right), I_{2005}, I_{2006}, I_{2007}, I_{2008}, I_{2009}, I_{2010}, I_{2011}, I_{2012}\right)$$





Asumimos que las ineficiencias técnica y medioambiental son constantes en el tiempo para cada empresa y que podían existir características g<sub>i</sub> (px1) que podían afectar las distribuciones de las ineficiencias. En nuestro caso, consideramos únicamente el tamaño de la empresa como variable explicativa de las distribuciones de ambas ineficiencias:

$$\begin{pmatrix} z_i^y \\ z_i^b \end{pmatrix} | \mathbf{g}_i \sim TN_2^{R^+xR^+} \left( \begin{pmatrix} \mu_i^y \\ \mu_i^b \end{pmatrix}, \mathbf{\Omega} \right) \text{ con } \begin{pmatrix} \mu_i^y \\ \mu_i^b \end{pmatrix} = \begin{pmatrix} \boldsymbol{\phi}_y \\ \boldsymbol{\phi}_b \end{pmatrix} \mathbf{g}_i$$

 $TN_p^A(\mathbf{m}, \mathbf{S})$  denota una distribución normal p-dimensional truncada en el conjunto A con vector de medias  $\mathbf{m}$  y matriz de covarianza  $\mathbf{S}$ .





## **CONCLUSIONES**

Las empresas técnicamente eficientes tendían a ser también ambientalmente eficientes. Por tanto, los gerentes deben convencerse de que ambos tipos de eficiencia no son objetivos contradictorios, sino que pueden ser alcanzable simultáneamente.

Las grandes empresas tendían a ser más eficientes en términos técnicos. Sin embargo, mientras que el tamaño es un factor menos determinante para la eficiencia ambiental, sí había algunas empresas grandes a las que les va muy mal medioambientalmente. Por ello, los gerentes de las grandes empresas deberían prestar más atención a sus ineficiencias ambientales, mientras que los de las empresas pequeñas deberían centrarse más en políticas para mejorar su eficiencia técnica.



# EVALUACIÓN DE LA CALIBRACIÓN DE LOS DERECHOS ASIGNADOS POR EL EU ETS

Analizamos si las emisiones de  $CO_2$  asignadas a una empresa por el EU ETS fueron apropiados en cada año, en el sentido de que estaban en línea con su nivel óptimo de emisiones. Para ello, comparamos para cada empresa i en el periodo t el nivel óptimo de emisiones de  $CO_2$  estimado por nuestro modelo que viene dado por:

$$\exp(\mathbf{y}_{i,t}^{'}\boldsymbol{\beta}_b)$$

con la cantidad A<sub>it</sub> asignada por el EU ETS. En realidad calculamos las diferencias:

$$d_{it}(\pmb{\beta}_b) = \mathbf{y}_{i,t}^{'} \pmb{\beta}_b$$
 - log(A\_{it}) ; t = 1,..., T; i = 1,...,n\_t





# EVALUACIÓN DE LA CALIBRACIÓN DE LOS DERECHOS ASIGNADOS POR EL EU ETS

Para analizar la influencia del nivel de ineficiencia ambiental en esta diferencia establecimos la siguiente **regresión cuantil**, con el fin de analizar las diferencias no solo en el centro de su distribución, sino también en sus zonas intermedias y en la cola.

Quantile<sub>$$\theta$$</sub>(d<sub>i,t</sub>( $\beta_b$ )|  $z_i^b$ ) =  $\alpha_\theta + \gamma_\theta z_i^b$ 

En este caso, el valor de  $(\alpha_{\theta}, \gamma_{\theta})$  lo obtuvimos minimizando:

$$\min_{\left(\alpha_{\theta}, \gamma_{\theta}\right)} \Biggl\{ \theta \sum_{i: d_{i,t}\left(\boldsymbol{\beta}_{b}\right) \geq \alpha_{\theta} + \gamma_{\theta} z_{i}^{b}} \left| d_{i,t}\left(\boldsymbol{\beta}_{b}\right) - \alpha_{\theta} - \gamma_{\theta} z_{i}^{b} \right| + \left(1 - \theta\right) \sum_{i: d_{i,t}\left(\boldsymbol{\beta}_{b}\right) \geq \alpha_{\theta} + \gamma_{\theta} z_{i}^{b}} \left| d_{i,t}\left(\boldsymbol{\beta}_{b}\right) - \alpha_{\theta} - \gamma_{\theta} z_{i}^{b} \right| \Biggr\}$$

Si estas diferencias no son significativamente diferentes de 0 entonces podríamos confirmar que las políticas de control de EU ETS están bien calibradas.





# **CONCLUSIONES**

En el periodo analizado, nuestros resultados destacan que los requisitos implícitos en el EU ETS fueron demasiado indulgentes porque los derechos de emisión de CO<sub>2</sub> asignados a cada empresa fueron significativamente mayores que los niveles de emisiones eficientes esperados durante toda la muestra período, siendo estas diferencias mayores para las empresas más ineficientes.

Por ello, creemos que el EU ETS debe imponer límites más ajustados a las emisiones de CO<sub>2</sub> para poder gestionar el comportamiento medioambiental de las empresas y mejorar su eficiencia, puesto que como hemos demostrado no existe conflicto para poder alcanzar mayores niveles de eficiencia técnica.



# El desempeño económico del EU ETS desde el punto de vista de los inversores





El esquema del EU ETS surgió con el fin de poder crear un estímulo para reducir las emisiones de CO<sub>2</sub> mediante la sustitución de energías sucias por renovables, ....., En este contexto, queríamos averiguar si las empresas de energía limpia, alineadas con su papel hacia iniciativas socialmente responsables, están ganando aceptación en términos de inversiones, lo que sería beneficioso para el medio ambiente.

Para conseguir que el EU ETS pueda ser el motor que ayude a cumplir con los objetivos de una transición energética hacia fuentes renovables dentro de una perspectiva de economía circular, es necesario realizar un análisis riguroso que incluya los principales mercados financieros involucrados, y su relación con el precio de los EUA.

Este análisis permitirá identificar los canales de transmisión de la volatilidad y la correlación entre los mercados financieros energéticos y el EU ETS e intentar proporcionar una base científica que muestre el interés de incorporar activos sostenibles en el diseño de estrategias de inversión de mínimo riesgo.





Concretamente, nos interesaría poder responder a las siguientes cuestiones:

- ¿Los precios de los permisos motivan a invertir en acciones de empresas de energías renovables y desincentivan la inversión en acciones de empresas dedicadas a petróleo y gas?
- ¿Influye el precio de las acciones de ambos tipos de compañías energéticas en los precios de los permisos?
- ¿Existe relación entre los precios de las acciones de empresas de energías renovables y los de las empresas de energías fósiles (petróleo y gas)?.







Article

# Co-Movements between Eu Ets and the Energy Markets: A Var-Dcc-Garch Approach

Pilar Gargallo 1, Luis Lample 2, Jesús A. Miguel 1 and Manuel Salvador 1,\*

Mathematics 2021, 9, 1787. https://doi.org/10.3390/math9151787





# **OBJETIVOS**

- ✓ El objetivo principal de este trabajo es analizar dinámicamente la relación entre el EU ETS, los precios de las energías fósiles y el mercado bursátil de las empresas energéticas, así como su persistencia en el tiempo. Para ello, utilizamos la familia de modelos VAR-DCC-GARCH que proporciona un marco muy adecuado para describir la evolución conjunta de estas series, teniendo en cuenta su carácter heterocedástico, así como la evolución temporal de las correlaciones existentes entre ellas.
- ✓ Otro objetivo consiste en cuantificar el tamaño y la persistencia de esas conexiones a través del análisis de las funciones impulso-respuesta del vector de medias y de las matrices de volatilidad y de correlación, para varios shocks aleatorios y distintos horizontes temporales. El análisis de estas funciones impulso-respuesta de estos momentos permiten captar los patrones existentes en la evolución conjunta de la serie en términos del binomio riesgo-rentabilidad, que constituye información crucial para el diseño de carteras de inversión.



# **DATOS**

Precios diarios de los derechos de emisión, de dos materias primas (petróleo y gas), y precios diarios de cierre de tres índices bursátiles (empresas de energías limpias, empresas petroleras y de gas y empresas industriales).

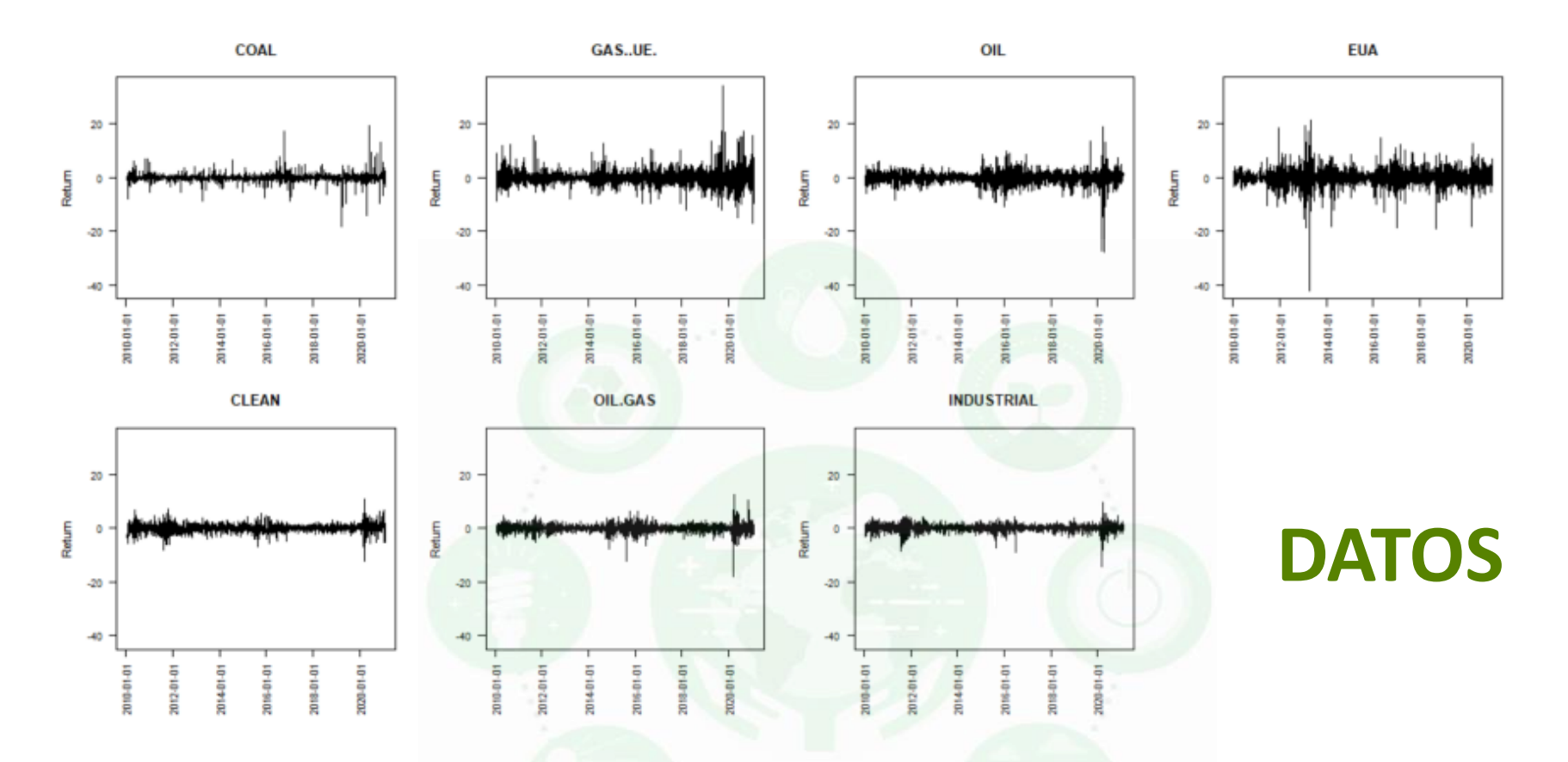
Periodo: 19/01/2010 hasta 05/02/2021

Número de observaciones: 2675

Todas las variables están expresadas en euros

Puesto que las series en niveles son no estacionarias y porque interesan más desde nuestro punto de vista financiero, vamos a trabajar con las series de rentabilidades diarias continuas





Descriptive analysis of the daily returns of the seven series.

	Minimum	Maximum	Mean	Std. Dev.	Skewness	Kurtosis
COAL	-18,090	19,416	-0.009	1394	0.737 *	47,574 *
GAS.UE	-17,253	34,275	0.012	2926	1.098 *	11,975 *
OIL	-27,976	19,077	-0.009	2303	-1.043*	21,159 *
EUA	-42,252	21,586	0.039	3244	-0.979*	15,572 *
CLEAN	-12,497	11,033	0.013	1527	-0.606*	7415 *
OIL.GAS	-17,953	12,387	-0.012	1527	-1.067*	17,061 *
INDUSTRIAL	-14,344	9414	0.041	1337	-0.928*	9818 *

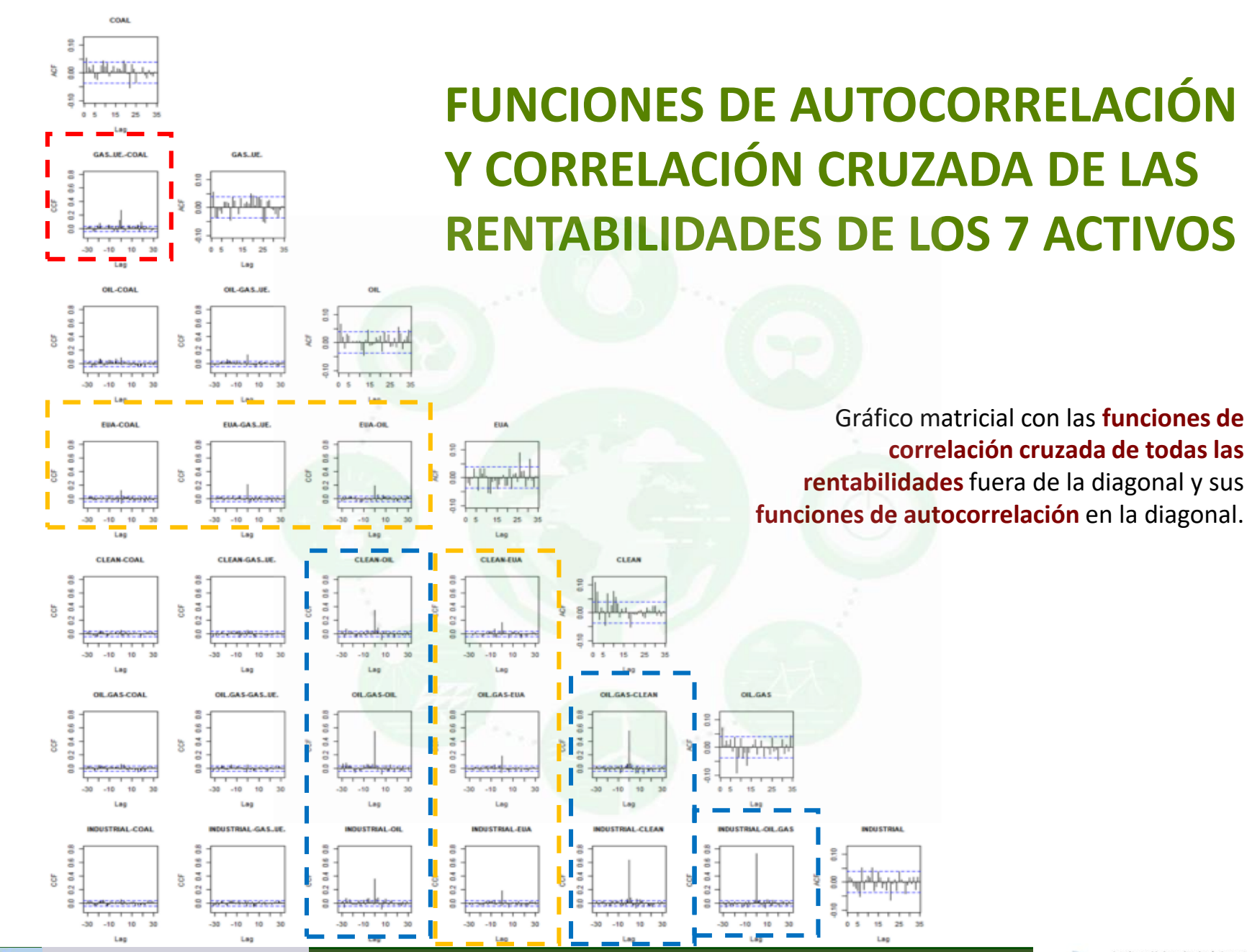
<sup>\*</sup> Significant at 0.1%.















Series de precios diarios de los activos financieros considerados

$${p_{i,t}; i = 1, ..., N; t = 1, ..., T}$$

Series de rentabilidades financieras diarias

$$\{\mathbf{r}_{t} = (r_{1,t}, ..., r_{N,t})'; t = 1, ..., T\}$$

$$r_{i,t} = 100 \cdot log\left(\frac{P_{i,t}}{P_{i,t-1}}\right)$$

Asumimos que:

$$r_t|\boldsymbol{\mathcal{F}}_{t-1} = \boldsymbol{\mu}_t + \boldsymbol{\epsilon}_t$$

$$\begin{split} \boldsymbol{\mathcal{F}}_t &= \{\boldsymbol{r}_1,...,\boldsymbol{r}_t\} \quad \text{el conjunto de información en el periodo t} \\ \boldsymbol{\mu}_t &= \mathrm{E}[\boldsymbol{r}_t \,|\, \boldsymbol{\mathcal{F}}_{t-1}] \quad \text{el vector de medias condicional en el periodo t} \\ \mathrm{var}(\boldsymbol{r}_t |\, \boldsymbol{\mathcal{F}}_{t-1}) &= \mathrm{var}(\boldsymbol{\epsilon}_t |\, \boldsymbol{\mathcal{F}}_{t-1}) = \boldsymbol{H}_t \quad \text{matriz de varianzas y covarianzas condicional} \\ \boldsymbol{\epsilon}_t &= (\boldsymbol{\epsilon}_{1t},...,\boldsymbol{\epsilon}_{N,t})' \quad \text{el termino de error en el periodo t} \end{split}$$





El **vector de medias condicional** se modeliza de acuerdo a un modelo vectorial autorregresivo de orden K siendo K el número de retardos VAR (K) dado por:

#### Resultados de la estimación de los coeficientes de un modelo VAR(1)

Coefficients	COAL(-1)	GAS.UE(-1)	OIL(-1)	EUA(-1)	CLEAN(-1)	OIL.GAS(-1)	INDUSTRIAL(-1)
60.17	0.02338	0.05579 **	0.00922	-0.00919	0.02650	-0.05097 *	0.03341
COAL	(0.24255)	(0.00000)	(0.51479)	(0.28874)	(0.25299)	(0.07805)	(0.30190)
CACIE	0.02176	0.05417 **	-0.00455	0.00584	0.01190	-0.10689 *	-0.01403
GAS.UE	(0.60628)	(0.00818)	(0.87886)	(0.74917)	(0.80771)	(0.07985)	(0.83716)
OII	-0.03012	-0.00792	0.07510 **	0.00359	0.06640 *	0.01437	-0.13066 **
OIL	(0.36423)	(0.62306)	(0.00138)	(0.80293)	(0.08432)	(0.76465)	(0.01498)
	-0.11469 **	-0.05019 **	-0.01282	0.00617	0.04902	-0.15851 **	0.04049
EUA	(0.01410)	(0.02686)	(0.69803)	(0.76041)	(0.36527)	(0.01894)	(0.59218)
CLEAN	-0.04084*	0.01264	0.00291	0.01138	0.13734 **	0.05042	-0.11047 **
CLEAN	(0.06196)	(0.23390)	(0.85097)	(0.22939)	(0.00000)	(0.11099)	(0.00180)
OH CAS	-0.01479	-0.00295	0.00410	-0.01071	0.06667 **	0.06888 **	-0.05208
OIL.GAS	(0.50154)	(0.78264)	(0.79208)	(0.26052)	(0.00891)	(0.03034)	(0.14340)
INDUSTRIAL	-0.01428	-0.00292	0.02909 **	-0.01063	0.09595 **	0.00449	-0.06639**
	(0.45801)	(0.75483)	(0.03263)	(0.20168)	(0.00002)	(0.87190)	(0.03298)

The p-values are enclosed in parentheses, indicated with \* significant at 10% and \*\* significant at 5%.





$$DCC(M_1,M_2)$$
- $GARCH(P,Q)$ 

$$\mathbf{H}_{t} = \mathbf{D}_{t} \mathbf{R}_{t} \mathbf{D}_{t}$$

$$\mathbf{D}_{t} = diag(\sqrt{h_{11,t}}, ..., \sqrt{h_{NN,t}})$$
  $h_{ii,t} = var(r_{i,t} | \mathcal{F}_{t-1})$  for  $i = 1, ..., N$ 

#### GARCH(P,Q)

$$\begin{aligned} \text{diag}(\textbf{H}_t) &= \boldsymbol{\Omega} + \sum_{p=1}^{P} & \textbf{A}_p \, \epsilon_{t-p} \odot \, \epsilon_{t-p} + \sum_{q=1}^{Q} & \textbf{B}_q \text{diag}(\textbf{H}_{t-q}) \\ & \boldsymbol{\Omega} = & \text{diag}(\boldsymbol{\omega}_i) \end{aligned}$$

$$\begin{split} & \boldsymbol{\Omega} = diag(\omega_i) \\ & \left\{ \begin{aligned} & \boldsymbol{A}_p = diag(\alpha_{i,p}); p = 1,...,P \\ & \\ & \left\{ \begin{aligned} & \boldsymbol{B}_q = diag(\beta_{i,q}); \ q = 1, ..., Q \end{aligned} \end{aligned} \right\} \end{split}$$





 $DCC(M_1,M_2)$ -GARCH(P,Q)

$$H_t = D_t R_t D_t \\$$

$$\mathbf{R}_t = \mathbf{Q}_t^{*-1} \mathbf{Q}_t \mathbf{Q}_t^{*-1}$$

$$\mathbf{Q}_t = \ddot{\mathbf{Q}} + \sum_{m=1}^{M_1} a_m \left( \mathbf{z}_{t-m} \mathbf{z}_{t-m}' - \ddot{\mathbf{Q}} \right) + \sum_{n=1}^{M_2} b_n \left( \mathbf{Q}_{t-m} - \ddot{\mathbf{Q}} \right)$$

$$\boldsymbol{Q}_t^* = diag(\boldsymbol{Q}_t)$$

 $\mathbf{z}_t = \mathbf{D}_t^{-1} \boldsymbol{\varepsilon}_t$  residuos estandarizados

Q matriz de covarianzas incondicional de los residuos estandarizados

$$\sum_{m=1}^{M_1} a_m + \sum_{n=1}^{M_2} b_n < 1$$





#### PROCEDIMIENTO DE ESTIMACIÓN

Los parámetros del modelo se estiman en un procedimiento de tres pasos:

Paso 1.- Estimación del modelo VAR (K) para r<sub>t</sub>

En este paso obtenemos  $\hat{\epsilon}_t$  una estimación de los residuos  $\epsilon_t$ 

Paso 2.- Estimación del modelo GARCH (P,Q) para cada serie de residuos univariante  $\{\hat{\epsilon}_{i,t}; \ i=1, ..., \ n; \ t=1, ..., \ T\} \ \ \text{obteniendo así una estimación de la matriz}$   $\hat{D}_t = \text{diag}\Big(\sqrt{\hat{h}_{11,t}}, ..., \sqrt{\hat{h}_{NN,t}}\Big), \ t=1, ..., \ T$ 

Paso 3.- Estimación de los parámetros  $a_1,...,a_{M1}$  and  $b_1,...,b_{M2}$  maximizando esta pseudo-log-verosimilitud

$$L = \begin{cases} L_1 \text{ if } \mathbf{z}_t & \sim N(0, \mathbf{R}_t) \\ L_2 \text{ if } \mathbf{z}_t & \sim t_{\nu}(0, \mathbf{R}_t) \\ L_3 \text{ if } \mathbf{z}_t & \sim L(0, \mathbf{R}_t) \end{cases}$$





# SELECCIÓN DEL MODELO

VAR(1)-GARCH(1,1)-DCC(1,1)			DCC(1,1)	VAR(2)-GARCH(1,1)-DCC(1,1)			VAR(3)-GARCH(1,1)-DCC(1,1)		
Distribution	AIC	BIC	HQC	AIC	BIC	HQC	AIC	BIC	HQC
M. Normal	25.127	25.332	25.202	25.160	25.473	25.273	25.201	25.622	25.353
M. T Student	24.319	24.526	24.394	24.357	24.672	24.471	24.408	24.831	24.561
M. Laplace	24.655	24.860	24.729	24.698	25.011	24.811	24.759	25.180	24.912

### ESTIMACIÓN DEL MODELO SELECCIONADO

Coefficients	COAL	GAS.UE	OIL	EUA	CLEAN	OIL.GAS	INDUSTRIAL
$\omega_{i}$	0.0098 **	0.0629 *	0.0325 **	0.1089 **	0.0286 **	0.0226 **	0.0394 **
	(0.0374)	(0.0504)	(0.0328)	(0.0479)	(0.0107)	(0.0104)	(0.0000)
$\alpha_{i}$	0.0087 *	0.1051 **	0.0797 **	0.1196 **	0.01018 **	0.0925 **	0.1106 **
	(0.0527)	(0.0000)	(0.0000)	(0.0000)	(0.0000)	(0.0001)	(0.0000)
B	0.9866 **	0.8939 **	0.9179 **	0.8794 **	0.8880 **	0.9019 **	0.8666 **
	(0.0000)	(0.0000)	(0.0000)	(0.0000)	(0.0000)	(0.0000)	(0.0000)
a	0.0116 **	1 22					
	(0.0000)	Todos los coefi	cientes son sigr	nificativos y la <sub>l</sub>	persistencia de l	la volatilidad es	s muy alta en toda
b	0.9683 **	las series, oscila	ando entre 0,90	y 0,999. Esto	indica, por un la	ido, el carácter	heterocedástico c
	(0.0000)	la serie (los coe	eficientes alfa s	on todos signif	icativamente di	ferentes de cer	o). También es al
ν	6.3634 **	la persistencia	en correlación (	(b está muy cer	ca de 1).		•

The p-values are enclosed in parentheses, indicated with \* significant at 10% and \*\* significant at 5%.





















SOCIAL



Tienen correlaciones

insignificantes entre

grupos.

relevantes intragrupos e

Las funciones impulso respuesta representan los mecanismos a través de los cuales los shocks se propagan en el tiempo. Su propósito principal es describir la evolución de las variables del modelo como reacción a un shock en una o en varias de ellas.

Estas funciones exploran la dinámica de un shock en el error del modelo en la predicción de la media, varianza y correlación de las variables. Para simplificar las expresiones, a continuación detallamos estas funciones para el modelo VAR (1) -DCC (1,1) -GARCH (1,1), que es el que hemos seleccionado en nuestra aplicación empírica.

- VIRF<sub>M</sub> Función impulso respuesta para la media condicional
- VIRF<sub>H</sub> Función impulso respuesta para la matriz de varianzas y covarianzas condicionales
- VIRF<sub>R</sub> Función impulso respuesta para la matriz de correlaciones condicionales





#### **VECTOR DE MEDIAS CONDICIONALES**

Como suponemos que  $\mu_t = E[\mathbf{r}_t | \mathcal{F}_{t-1}] = \Phi_1 \mathbf{r}_{t-1}$ 

$$VIRF_{M}(h, \boldsymbol{\mathcal{F}}_{t-1}) = E[\mathbf{r}_{t+h}|\mathbf{z}_{t} = \mathbf{e}_{t}, \boldsymbol{\mathcal{F}}_{t-1}] - E[\mathbf{r}_{t+h}|\boldsymbol{\mathcal{F}}_{t-1}]$$

h representa el horizonte de predicción e<sub>t</sub> es el shock estandarizado en el instante t

$$VIRF_M(h,\boldsymbol{\mathcal{F}}_{t-1}) = \boldsymbol{\Phi}_1 VIRF_M(h-1,\boldsymbol{\mathcal{F}}_{t-1}), \text{ when } h \geq 1$$

$$VIRF_{M}(0, \boldsymbol{\mathcal{F}}_{t-1}) = \mathbf{H}_{t}^{1/2}\mathbf{e}_{t}$$





#### MATRIZ DE VARIANZAS Y COVARIANZAS CONDICIONALES

$$VIRF_{H}(h, \boldsymbol{\mathcal{F}}_{t-1}) = E[\mathbf{H}_{t+h}|\mathbf{z}_{t} = \mathbf{e}_{t}, \boldsymbol{\mathcal{F}}_{t-1}] - E[\mathbf{H}_{t+h}|\boldsymbol{\mathcal{F}}_{t-1}]$$

$$\mathrm{E}[\mathbf{H}_{t+h}|\boldsymbol{\mathcal{F}}_{t-1}] \cong \mathrm{E}[\mathbf{D}_{t+h}|\boldsymbol{\mathcal{F}}_{t-1}] \mathrm{E}[\mathbf{R}_{t+h}|\boldsymbol{\mathcal{F}}_{t-1}] \mathrm{E}[\mathbf{D}_{t+h}|\boldsymbol{\mathcal{F}}_{t-1}]$$

$$VIRF_D(h, \boldsymbol{\mathcal{F}}_{t-1}) = E\Big[\boldsymbol{D}_{t+h}^2|\boldsymbol{z}_t = \boldsymbol{e}_t, \boldsymbol{\mathcal{F}}_{t-1}\Big] - E\Big[\boldsymbol{D}_{t+h}^2|\boldsymbol{\mathcal{F}}_{t-1}\Big]$$

$$VIRF_R(h, \boldsymbol{\mathcal{F}}_{t-1}) = E[\boldsymbol{R}_{t+h}|\boldsymbol{z}_t = \boldsymbol{e}_t, \boldsymbol{\mathcal{F}}_{t-1}] - E[\boldsymbol{R}_{t+h}|\boldsymbol{\mathcal{F}}_{t-1}]$$





#### VARIANZAS CONDICIONALES

$$VIRF_D(h, \boldsymbol{\mathcal{F}}_{t-1}) = E\Big[\boldsymbol{D}_{t+h}^2|\boldsymbol{z}_t = \boldsymbol{e}_t, \boldsymbol{\mathcal{F}}_{t-1}\Big] - E\Big[\boldsymbol{D}_{t+h}^2|\boldsymbol{\mathcal{F}}_{t-1}\Big]$$

$$diag(\mathbf{H}_{t}) = \mathbf{\Omega} + \mathbf{A}\boldsymbol{\varepsilon}_{t-1} \odot \boldsymbol{\varepsilon}_{t-1} + \mathbf{B}diag(\mathbf{H}_{t-1})$$

$$VIRF_D(h, \mathcal{F}_{t-1}) = (\mathbf{A} + \mathbf{B})VIRF_D(h-1, \mathcal{F}_{t-1})$$
, when  $h > 1$ 

$$VIRF_{D}(1, \boldsymbol{\mathcal{F}}_{t-1}) = \boldsymbol{A} \cdot diag\left(\boldsymbol{H}_{t}^{\frac{1}{2}} \left(\boldsymbol{e}_{t} \boldsymbol{e}_{t}' - \boldsymbol{I}_{N}\right) \boldsymbol{H}_{t}^{\frac{1}{2}}\right)$$





#### MATRIZ DE CORRELACIONES CONDICIONALES

$$VIRF_R(h, \boldsymbol{\mathcal{F}}_{t-1}) = E[\boldsymbol{R}_{t+h}|\boldsymbol{z}_t = \boldsymbol{e}_t, \boldsymbol{\mathcal{F}}_{t-1}] - E[\boldsymbol{R}_{t+h}|\boldsymbol{\mathcal{F}}_{t-1}]$$

$$\mathrm{E}[\mathbf{R}_{\mathsf{t}+\mathsf{h}}|\boldsymbol{\mathcal{F}}_{\mathsf{t}-1}] \approx \mathrm{E}[\mathbf{Q}_{\mathsf{t}+\mathsf{h}}|\boldsymbol{\mathcal{F}}_{\mathsf{t}-1}]$$

$$VIRF_R(h, \boldsymbol{\mathcal{F}}_{t-1}) \approx E[\mathbf{Q}_{t+h}|\mathbf{z}_t = \mathbf{e}_t, \boldsymbol{\mathcal{F}}_{t-1}] - E[\mathbf{Q}_{t+h}|\boldsymbol{\mathcal{F}}_{t-1}]$$

$$E[\boldsymbol{Q}_{t+h}|\boldsymbol{\mathcal{F}}_{t-1}] = (1-a-b)\boldsymbol{Q} + a\boldsymbol{z}_{t+h-1}\boldsymbol{z}_{t+h-1}' + bE[\boldsymbol{Q}_{t+h-1}|\boldsymbol{\mathcal{F}}_{t-1}]$$

$$VIRF_R(h, \mathcal{F}_{t-1}) = (a+b)VIRF_R(h-1, \mathcal{F}_{t-1})$$
, when  $h > 1$ 

$$VIRF_{R}(1, \boldsymbol{\mathcal{F}}_{t-1}) = a \cdot \mathbf{D}_{t}^{-1} \mathbf{H}_{t}^{\frac{1}{2}} (\mathbf{e}_{t} \mathbf{e}_{t}' - \mathbf{I}_{N}) \mathbf{H}_{t}^{\frac{1}{2}} \mathbf{D}_{t}^{-1}$$





#### Horizon COAL (GAS..UE.) GAS.JE. (GAS.JE.) OIL (GAS..UE.) EUA (GAS..UE.) CLEAN (GAS..UE.) OIL.GAS ( GAS..UE. ) INDUSTRIAL (GAS.JUE.) Harizon COAL (OIL) GAS.JUE. (OIL) OIL (OIL) EUA (OIL) CLEAN (OIL) OILGAS (OIL) INDUSTRIAL ( OIL ) 9 Harigan COAL (EUA) GAS.JUE. ( EUA ) OIL (EUA) EUA (EUA) CLEAN ( EUA ) OILGAS (EUA) INDUSTRIAL (EUA.) COAL (CLEAN) GAS\_UE. (CLEAN) OIL (CLEAN) EUA (CLEAN) CLEAN (CLEAN) OIL.GAS (CLEAN) INDUSTRIAL ( CLEAN ) COAL (OILGAS) GAS..UE. (OIL.GAS) OIL (OIL.GAS) EUA (OIL.GAS) CLEAN (OIL.GAS) OILGAS (OILGAS) INDUSTRIAL ( OIL.GAS ) COAL ( INDUSTRIAL ) GAS.UE. (INDUSTRIAL) OIL (INDUSTRIAL) EUA (INDUSTRIAL) CLEAN (INDUSTRIAL) OIL.GAS (INDUSTRIAL) INDUSTRIAL (INDUSTRIAL)

EUA (COAL)

CLEAN ( COAL )

OILGAS (COAL)

INDUSTRIAL ( COAL )

GAS..UE. (COAL)

OIL (COAL)

COAL (COAL)

# **FUNCIONES IMPULSO RESPUESTA PARA** LA MEDIA CONDICIONAL



cada columna

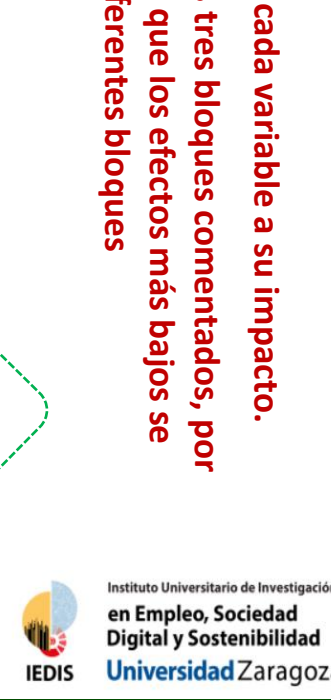
Cada fila corresponde a la variable impulsada y

la respuesta de cada variable.

# **FUNCIONES IMPULSO RESPUESTA PARA** CONDICIONAL A MEDIA

rápidamente debido al fuerte a la media de todas las series Los efectos desaparecen carácter de reversión





Los mayores

diagonal contiene

a

respuesta

su alto nivel de intra-conexión, mientras que los

producen

entre series de diferentes

efectos ocurren dentro de

Sol

tres



# **FUNCIONES IMPULSO RESPUESTA PARA** CONDICIONAL A MEDIA

debido al fuerte la media de todas las series rápidamente σ Los efectos desaparecen carácter de reversión







Los mayores

efectos

ocurren

dentro

de

SO

tres

bloques

comentados, por

diagonal contiene

a

respuesta

cada

variable

ns

impacto

su alto nivel de intra-conexión, mientras

producen

entre

series

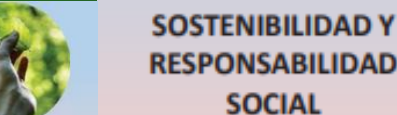
de diferentes

bloques

que

So

efectos más bajos se



como respuesta a sus propios shocks. Para cada serie, los principales impactos de volatilidad se producen la diagonal, los principales impactos series interconectadas. Con respecto a las celdas fuera de corresponden a algunos de las







#### 150 150 COAL (GAS.JE.) GAS.UE. (GAS.UE.) OIL (GAS\_UE.) EUA (GAS.UE.) CLEAN (GAS.JE.) OIL.GAS ( GAS.UE. ) INDUSTRIAL ( GAS.UE. ) **FUNCIONES IMPULSO RESPUESTA PARA** LA VARIANZA CONDICIONA COAL (OIL) GAS.UE. (OIL) OIL (OIL) EUA (OIL) CLEAN (OIL) OILGAS (OIL) INDUSTRIAL ( OIL ) 150 150 COAL (EUA) GAS.UE. (EUA) OIL (EUA) EUA (EUA) CLEAN (EUA) OIL.GAS (EUA) INDUSTRIAL (EUA) COAL (CLEAN) GAS.UE. (CLEAN) OIL (CLEAN) EUA (CLEAN) CLEAN ( CLEAN ) OIL.GAS (CLEAN) INDUSTRIAL (CLEAN) 150 COAL (OIL GAS) GAS.JJE. (OIL.GAS) OIL (OIL.GAS) EUA (OIL.GAS) CLEAN (OIL.GAS) OIL/GAS (OIL/GAS) INDUSTRIAL (OIL/GAS) COAL ( INDUSTRIAL ) GAS.,UE. ( INDUSTRIAL ) OIL ( INDUSTRIAL ) EUA (INDUSTRIAL) CLEAN (INDUSTRIAL) OIL/GAS ( INDUSTRIAL ) INDUSTRIAL ( INDUSTRIAL 150 150

Impulse 10-se

Impulse 8-se

Impulse 6-se

Impulse 4-se ---- Impulse 2-se

EUA (COAL)

CLEAN (COAL)

# Además, en todos los casos, un mayor tamaño del impulso implica una mayor respuesta en volatilidad. En general, los efectos son duraderos debido a la alta persistencia de la volatilidad

INDUSTRIAL ( COAL )

OILGAS (COAL)

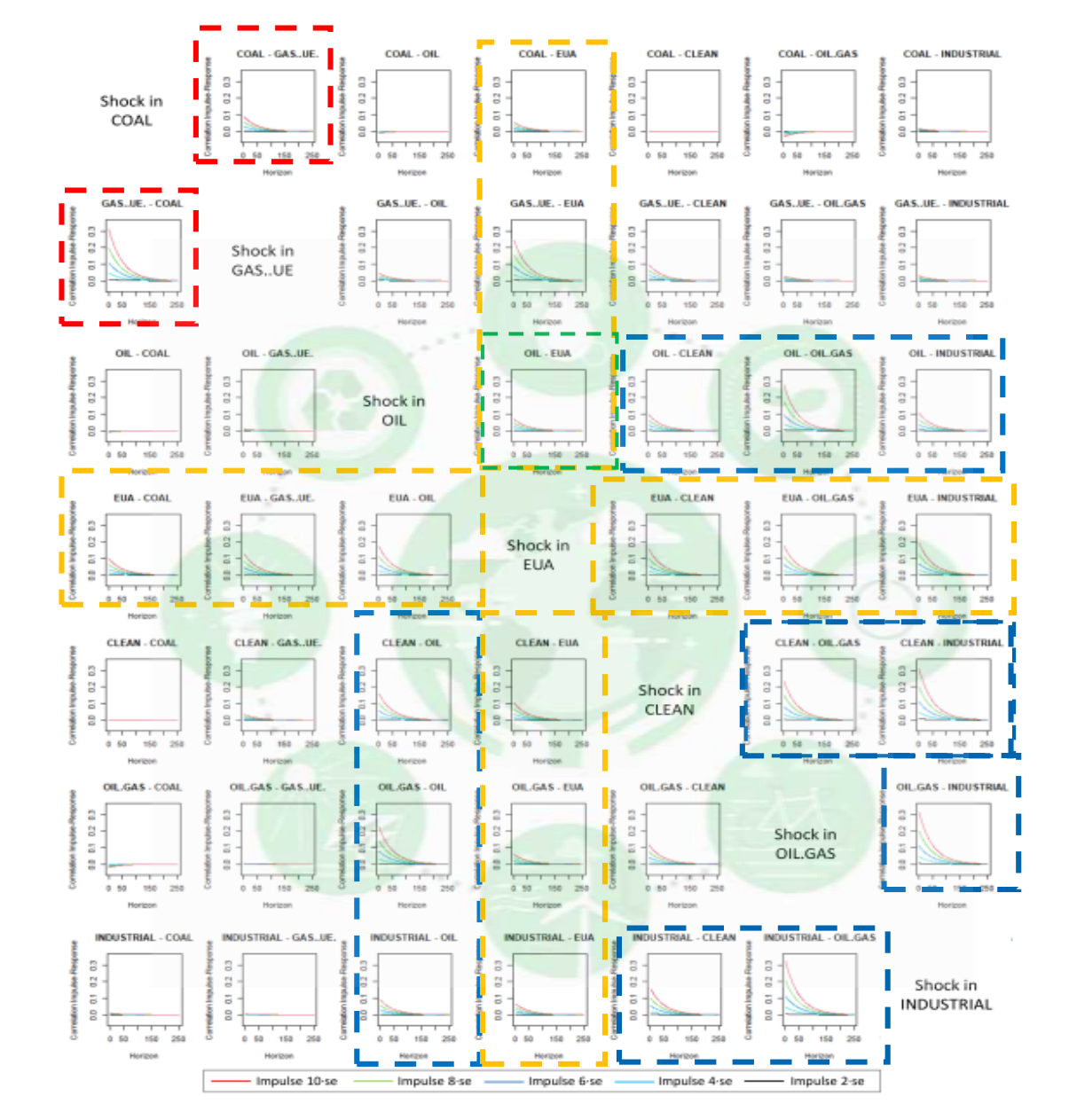




COAL (COAL)

GAS.JE. (COAL)

# **CORRELACIONES CONDICIONAL FUNCIONES IMPULSO RESPUESTA PARA LA MATRIZ DE**





EUA afecta a todos pero principalmente a COAL

CLEAN,

Los mayores impactos sobre la correlación se dan entre las series de los

grupos anteriormente descritos

COAL y GAS

# **CONCLUSIONES**

Existencia de tres grupos de activos con poca influencia entre sí.

- ✓ Un grupo está compuesto por COAL y GAS.UE, un segundo grupo por OIL, CLEAN, OIL.GAS e INDUSTRIAL y, por último, un tercer grupo por solo los precios de los EUA.
- ✓ Los dos primeros grupos tienden a moverse simultáneamente en la misma dirección con correlaciones significativamente positivas y con alta persistencia en la volatilidad. Aunque si bien es cierto que las correlaciones cambian con el tiempo, fluctúan relativamente poco alrededor de un valor promedio y también reflejan una alta persistencia.
- ✓ En cuanto a la rentabilidad de los derechos de emisión de CO₂, su correlación es positiva con todas las series de rentabilidades, aunque no es muy fuerte. Los impactos más importantes de los shocks EUA sobre los rendimientos esperados y el riesgo se ejercen sobre sí mismo y sobre GAS.UE, y viceversa.





# **CONCLUSIONES**

- ✓ El impacto sobre la media tiene una duración máxima de dos días, y se potencian con shocks que afectan a otras variables cuando son del mismo signo, y se compensan si son de diferente signo. La persistencia de los impactos sobre la volatilidad es alta y se observa un efecto potenciador de EUA sobre GAS.UE cuando se combina con un shock en COAL, mientras que este impulso hacia arriba ocurre en EUA si el shock en el GAS.UE se combina con shocks de otras variables.
- ✓ Finalmente, los impactos más significativos en las correlaciones del EUA con otra variable son los que ejercen los shocks que afectan a ellas mismas. Estos impactos aumentan el valor de la correlación y, por tanto, la posibilidad de un efecto de sinergia de riesgo entre ellos. Este efecto es persistente y mayor cuanto mayor es el valor absoluto del shock. Además, este efecto se potencia si se producen simultáneamente shocks del mismo signo en ambas variables.





# ¿ES POSIBLE NO INCREMENTAR EL RIESGO INVIRTIENDO ÚNICAMENTE EN ENERGÍAS LIMPIAS?





# **MOTIVACIÓN**

- La evolución tecnológica y la reducción de los costes de producción en el sector de las energías limpias, es señal de que la industria está madurando.
- El interés de los gobiernos en tema de sostenibilidad. Las energías renovables están incluidas en la agenda gubernamental de la Unión Europea (un 27% del total de energía utilizada debe proceder de fuentes renovables en 2030).
- No obstante, a pesar de que las tendencias de inversión son positivas, se necesita invertir mucho más en energías renovables para poder cumplir con los objetivos de desarrollo sostenible.
- La transición energética no se acelerará hasta que los inversores reconozcan que cambiar a una energía más sostenible no solo es esencial para detener el cambio climático, sino que también tiene un sentido económico sólido.





# **OBJETIVO**

- En este trabajo se analiza el mercado de la energía desde una perspectiva de selección y valoración de activos. Para ello se realiza un análisis de la interrelación entre los precios de los derechos de emisión y mercados bursátiles.
- Los resultados constituyen una información muy útil para que los inversores en el mercado energético construyan sus carteras alcanzando menores niveles de volatilidad, mayores rentabilidades o ambas. Este trabajo pretende demostrar que es posible reducir el riesgo invirtiendo en carteras formadas únicamente por acciones de empresas del sector de las energías limpias.



# **OBJETIVO**

- Se realiza un estudio comparativo dinámico de la volatilidad de tres tipos de carteras: una cartera formada exclusivamente por energías fósiles, una cartera formada sólo por acciones de empresas en el sector de las energías limpias y una cartera combinada con los dos tipos de energía.
- La significación de las diferencias en volatilidad se analiza utilizando la metodología propuesta por Engle y Colacito (2006) que tiene en cuenta su valor económico.
- La interrelación entre los precios de los diferentes activos se lleva a cabo mediante una estrategia dinámica basada en modelos GARCH multivariantes que selecciona aquellos modelos que proporcionan la mejor estimación de la evolución de la matriz de varianzas y covarianzas de las rentabilidades diarias de los activos.



# **DATOS**

Precios diarios de los derechos de emisión, de dos materias primas (petróleo y gas), y precios diarios de cierre de dos índices bursátiles (empresas de energías limpias y empresas petroleras y de gas).

Periodo: 19/01/2010 hasta 17/09/2021

Número de observaciones: 2829

Todas las variables están expresadas en euros





# PLANTEAMIENTO DEL PROBLEMA

Seleccionar la mejor cartera, es decir, los **pesos de cada activo que componen la cartera óptima**. Por tanto, tendremos que resolver el siguiente **problema de optimización**:

$$\min_{\mathbf{w}_{t}} \operatorname{Var}(\mathbf{w}_{t}' \mathbf{r}_{t} | \mathbf{I}_{t-1}) = \mathbf{w}_{t}' \Omega_{t} \mathbf{w}_{t}$$
s.a. 
$$\mathbf{w}_{t}' \mathbf{\mu}_{t} = \mathbf{\mu}_{0}$$

siendo  $\Omega_{\rm t}$  = Cov( $\rm r_{\rm t}$  |  $\rm I_{\rm t-1}$ ) matriz de varianzas y covarianzas condicional de  $\rm r_{\rm t}$  e  $\rm I_{\rm t}$  información disponible en el periodo t

La solución viene dada por el vector de pesos  $\mathbf{w}_t^* = \frac{\Omega_t^{-1} \mu_t}{\mu_t' \Omega_t^{-1} \mu_t} \mu_0$ 

**Nota**.- La suma de los pesos de N activos en el instante t no tiene porque ser 1 ( $\sum_{i=1}^{N} w_{i,t} \neq 1$ ) de hecho el peso restante  $1 - \sum_{i=1}^{N} w_{i,t}$  corresponde al activo libre de riesgo.





# PLANTEAMIENTO DEL PROBLEMA

Si estimamos la matriz de varianzas y covarianzas  $\Omega_{\rm t}$  por una matriz  $H_{\rm t}$  la solución para los pesos vendría dada por:

$$\mathbf{w}_{t} = \frac{\mathbf{H}_{t}^{-1} \mathbf{\mu}_{t}}{\mathbf{\mu}_{t}' \mathbf{H}_{t}^{-1} \mathbf{\mu}_{t}} \mathbf{\mu}_{0}$$

Con las dos soluciones  $\mathbf{w}^*_{t}$  y  $\mathbf{w}_{t}$  podemos calcular las desviaciones estándar de la cartera:

$$\frac{\sigma_t^*}{\mu_0} = \frac{\sqrt{\mathbf{w}_t^{*'}\Omega_t\mathbf{w}_t^*}}{\mu_0} = \sqrt{\frac{1}{\mathbf{\mu}_t^{'}\mathbf{\Omega}_t^{-1}\mathbf{\mu}_t}}$$

$$\frac{\sigma_t}{\mu_0} = \frac{\sqrt{\mathbf{w}_t^{'}\Omega_t\mathbf{w}_t}}{\mu_0} = \frac{\sqrt{\mathbf{\mu}_t^{'}\mathbf{H}_t^{-1}\mathbf{\Omega}_t\mathbf{H}_t^{-1}\mathbf{\mu}_t}}{\mathbf{\mu}_t^{'}\mathbf{\Omega}_t^{-1}\mathbf{\mu}_t}$$





# PLANTEAMIENTO DEL PROBLEMA

#### MÍNIMA PÉRDIDA DE EFICIENCIA

Engle y Colacito (2006) demuestran que si  $H_t$  es una estimación de la matriz de varianzas y covarianzas condicional y  $\Omega_t$  es la matriz de varianzas y covarianzas verdadera; además  $\mu$  es un vector cualquiera con los excesos de rentabilidades respecto del activo libre de riesgo se tiene que  $\sigma_t \geq \sigma_t^* \quad \forall H_t \neq \Omega_t$ 

A partir del este resultado obtenemos para la varianza de la cartera que:

$$E\left[\frac{1}{T}\sum_{t=1}^{T}(\sigma_t^*)^2\right] \leq E\left[\frac{1}{T}\sum_{t=1}^{T}(\sigma_t)^2\right]$$

Es decir, este resultado nos proporciona una estrategia para comparar matrices de varianzas y covarianzas. El objetivo es elegir la matriz de varianzas y covarianzas que proporcione la menor varianza de la cartera para cualquier vector de rentabilidades esperadas.





PASO 0 (Iniciación)

Se **fijan los datos** que se van a utilizar  $\mathbf{r}_t = (\mathbf{r}_{1,t},...\mathbf{r}_{p,t})$  con t = 1,..., T, siendo p el número de activos que van a combinarse para confeccionar la cartera óptima.

Se establece el conjunto de modelos  $M = \{M_1,...,M_k\}$  que van a utilizarse para seleccionar la cartera dinámica óptima.

Se fijan el **tamaño**  $h_1$  **de la ventana** de estimación de los modelos y el **tamaño**  $h_2$  (con  $1 \le h_2 \le h_1$ ) **de la ventana** de selección dinámica del mejor modelo en cada instante de tiempo.

Por tanto, para  $t = h_1 + h_2 + 1,...,T$  se realizarán los siguientes pasos:





PASO 1 (Estimación de los modelos y de sus matrices de varianzas y covarianzas)

> Para cada uno de los modelos M∈ M y para el periodo de tiempo u = t-h<sub>2</sub>+1,...., t se obtiene la **estimación de la matriz de varianzas y** covarianzas cuyo vector de parámetros es  $\theta_{M}$

$$H_{u,h_1,M} = Cov(r_u|M, \hat{\theta}_{M,u,h_1}, I_{u-1,h_1})$$

donde  $\widehat{\theta}_{M,u,h_1}$  es el estimador MV de  $\theta_M$  correspondiente al periodo u-h<sub>1</sub>,..., u-1 e  $I_{u-1,h_1} = \{r_{u-h_1}, ..., r_{u-1}\}$ 





PASO 2 (Determinación de las carteras de mínima varianza para cada uno de los modelos)

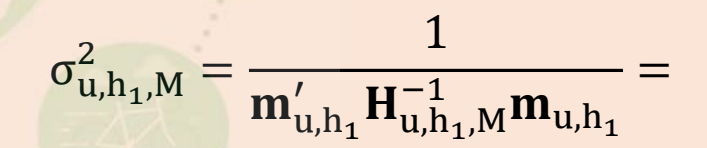
Cálculo del vector de pesos óptimos para cada modelo M en cada periodo de tiempo u

$$\mathbf{w}_{u,h_1,M} = \frac{\mathbf{H}_{u,h_1,M}^{-1} \mathbf{m}_{u,h_1}}{\mathbf{m}_{u,h_1}' \mathbf{H}_{u,h_1,M}^{-1} \mathbf{m}_{u,h_1}}$$

con u = 
$$t-h_2+1,...., t$$

$$\mathbf{m}_{u,h_1} = \frac{1}{h_1} \sum_{v=u-h_1}^{u-1} r_v$$

Cálculo del riesgo asociado a la cartera óptima para cada modelo M en cada periodo de tiempo u



$$=\mathbf{w}_{\mathrm{u},\mathrm{h}_{1},\mathrm{M}}^{\prime}\mathbf{H}_{\mathrm{u},\mathrm{h}_{1},\mathrm{M}}\mathbf{w}_{\mathrm{u},\mathrm{h}_{1},\mathrm{M}}$$

con u = 
$$t-h_2+1,...., t$$





PASO 3

(Selección dinámica de la cartera óptima)

Para seleccionar el mejor modelo se calcula lo siguiente:

$$\min_{\mathbf{M}\in\mathbf{M}}\frac{1}{\mathbf{h}_2}\sum_{\mathbf{u}=\mathbf{t}-\mathbf{h}_2+1}^{\mathbf{t}}\sigma_{\mathbf{u},\mathbf{h}_1,\mathbf{M}}^2$$

Y así, obtenemos  $M_{opt,t}$  que es el modelo que presenta el menor riesgo asociado a la cartera en el periodo t



Obtenemos **el vector de pesos w\_{t,h\_1,M\_{opt,t}} y su volatilidad \sigma^2\_{t,h\_1,M\_{opt,t}}** 





# COMPARACIÓN DE CARTERAS ÓPTIMAS

#### PROCEDIMIENTO BASADO EN EL CONTRASTE DE DIEBOLD Y MARIANO

Sean (1) y (2) dos carteras dinámicas óptimas y calculamos para cada una de ellas su rentabilidad  $\pi_t^{(1)}$  y  $\pi_t^{(2)}$ 

$$\begin{aligned} & \pi_t^{(1)} = w_{(1),t}' \big( r_{t,(1)} - m_{t,h_1,(1)} \big) \\ & \pi_t^{(2)} = w_{(2),t}' \big( r_{t,(2)} - m_{t,h_1,(2)} \big) \end{aligned} \text{ siendo}$$

 $\mathbf{m}_{t,h_1,(i)} = \frac{1}{h_1} \sum_{v=t=h} r_{v,(i)}$ 

$$\mathbf{w}_{(i),t} = \frac{\mathbf{H}_{t,(i)}^{-1} \mathbf{m}_{t,(i)}}{\mathbf{m}'_{t,(i)} \mathbf{H}_{t,(i)}^{-1} \mathbf{m}_{t,(i)}} = \mathbf{m}'_{t,(i)}$$

Construimos la rentabilidad al cuadrado de ambas carteras y las restamos

$$\mathbf{u}_{t}^{(1),(2)} = \left(\pi_{t}^{(1)}\right)^{2} - \left(\pi_{t}^{(2)}\right)^{2}$$
 para  $t = T_{1},...,T_{2}$ 



$$\mathbf{U}_{\mathrm{T}_{1}:\mathrm{T}_{2}}^{(1),(2)} = \left(\mathbf{u}_{\mathrm{T}_{1}}^{(1),(2)}, \dots, \mathbf{u}_{\mathrm{T}_{2}}^{(1),(2)}\right)'$$





## COMPARACIÓN DE CARTERAS ÓPTIMAS

#### PROCEDIMIENTO BASADO EN EL CONTRASTE DE DIEBOLD Y MARIANO

Utilizamos los valores de las diferencia u divididas por su desviación estándar, sin embargo, como la verdadera matriz de varianza y covarianzas no se conoce, utilizamos como estimador de dicha matriz la media geométrica de los dos estimadores de la varianza de los dos modelos comparados.

$$v_t^{(1),(2)} \text{=} u_t^{(1),(2)} \big[ 0.5 \big( \boldsymbol{m}_{t,(1)}' \boldsymbol{H}_{t,(1)}^{-1} \boldsymbol{m}_{t,(1)} ) \big) \big( \boldsymbol{m}_{t,(2)}' \boldsymbol{H}_{t,(2)}^{-1} \boldsymbol{m}_{t,(2)} ) \big) \big]^{1/2}$$



$$\mathbf{V}_{\mathrm{T}_{1}:\mathrm{T}_{2}}^{(1),(2)} = \left(v_{\mathrm{T}_{1}}^{(1),(2)}, \dots, v_{\mathrm{T}_{2}}^{(1),(2)}\right)'$$

Esta transformación no cambia lógicamente las hipótesis nula y alternativa, ya que el factor que multiplica a u es positivo, simplemente debería mejorar las propiedades de muestreo del test.





# COMPARACIÓN DE CARTERAS ÓPTIMAS

#### PROCEDIMIENTO BASADO EN EL CONTRASTE DE DIEBOLD Y MARIANO

Por tanto, para contrastar si es mejor la estimación de la matriz de varianzas y covarianzas proporcionada por el procedimiento (1) o la proporcionada por el procedimiento (2), realizamos la siguiente regresión:

$$\mathbf{V}_{T_1:T_2}^{(1),(2)} = \beta_v^{(1),(2)} \mathbf{1}_{(T_2 - T_1 + 1)x1} + \boldsymbol{\varepsilon}_{v,T_1:T_2}^{(1),(2)}$$

y contrastamos si el coeficiente  $\beta_{v}^{(1),(2)}$  es igual a cero o no. Si se rechaza la igualdad, se puede examinar en qué sentido se da la desigualdad. Para ello, calculamos el estadístico t<sub>...</sub>

$$\mathsf{t_v} = \frac{\widehat{\beta}_{\mathsf{v}}^{(1),(2)}}{\sqrt{\mathsf{Var}\left(\widehat{\beta}_{\mathsf{v}}^{(1),(2)}\right)}}$$

$$t_{v} = \frac{\widehat{\beta}_{v}^{(1),(2)}}{\sqrt{\text{Var}(\widehat{\beta}_{v}^{(1),(2)})}} \qquad \qquad \widehat{\beta}_{v}^{(1),(2)} = \frac{1}{T_{2} - T_{1}} \sum_{t=T_{1}}^{T_{2}} v_{t}^{(1),(2)}$$

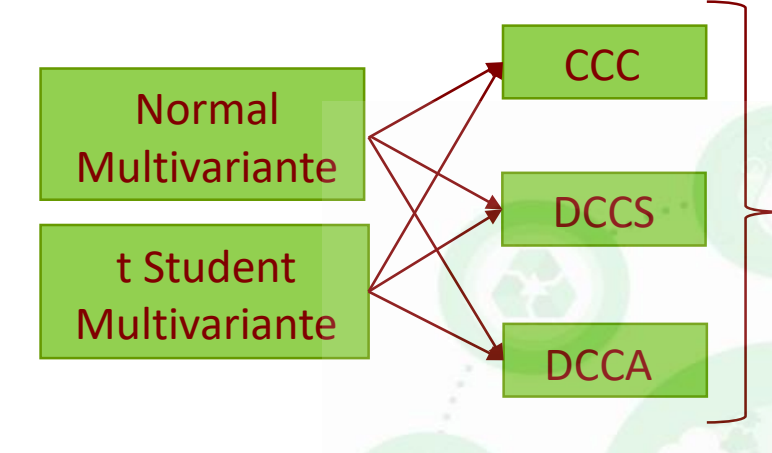
$$\text{Var}(\widehat{\beta}_{v}^{(1),(2)}) \cong \frac{1}{(T_{2} - T_{1})^{2}} (\mathbf{V}_{T_{1}:T_{2}}^{(1),(2)})' \mathbf{G}_{v}^{-1} \mathbf{V}_{T_{1}:T_{2}}^{(1),(2)}$$

siendo **G**<sub>v</sub> un estimador robusto de la matriz de varianzas y covarianzas (Newey-West) que tiene en cuenta la correlación y heterocedasticidad de los residuos.









CARTERA LIMPIA

**CARTERA SUCIA** 

 $\mathbf{r}_t = \mathbf{\mu}_t + \mathbf{a}_t$  $\mathbf{a}_{\mathsf{t}} = \mathbf{H}_{\mathsf{t}}^{1/2} \mathbf{\varepsilon}_{\mathsf{t}}$ 

6 modelos

$$H_t = D_t R_t D_t$$

$$\mathbf{R}_t = \mathbf{Q}_t^{*-1} \mathbf{Q}_t \mathbf{Q}_t^{*-1}$$

$$\mathbf{Q}_{t} = (1 - a - b)\overline{\mathbf{Q}} + a\mathbf{u}_{t-1}\mathbf{u}_{t-1}^{T} + b\mathbf{Q}_{t-1} + g\mathbf{u}_{t}^{-}\mathbf{u}_{t}^{-}$$

COMPARACIÓN DE LOS RIESGOS DE LAS TRES CARTERAS DINÁMICAS

Vamos a trabajar con 3 posibles modelos: CCC a = b = g = 0

$$CCC$$
  $a = b = g = 0$ 

**DCCS** 
$$g = 0$$
 y  $a \ne 0$ ,  $b \ne 0$ 

**DCCA**  $g \neq 0$ ,  $a \neq 0$ ,  $b \neq 0$ 

Y empleamos 2 posibles distribuciones en el error a<sub>+</sub>:

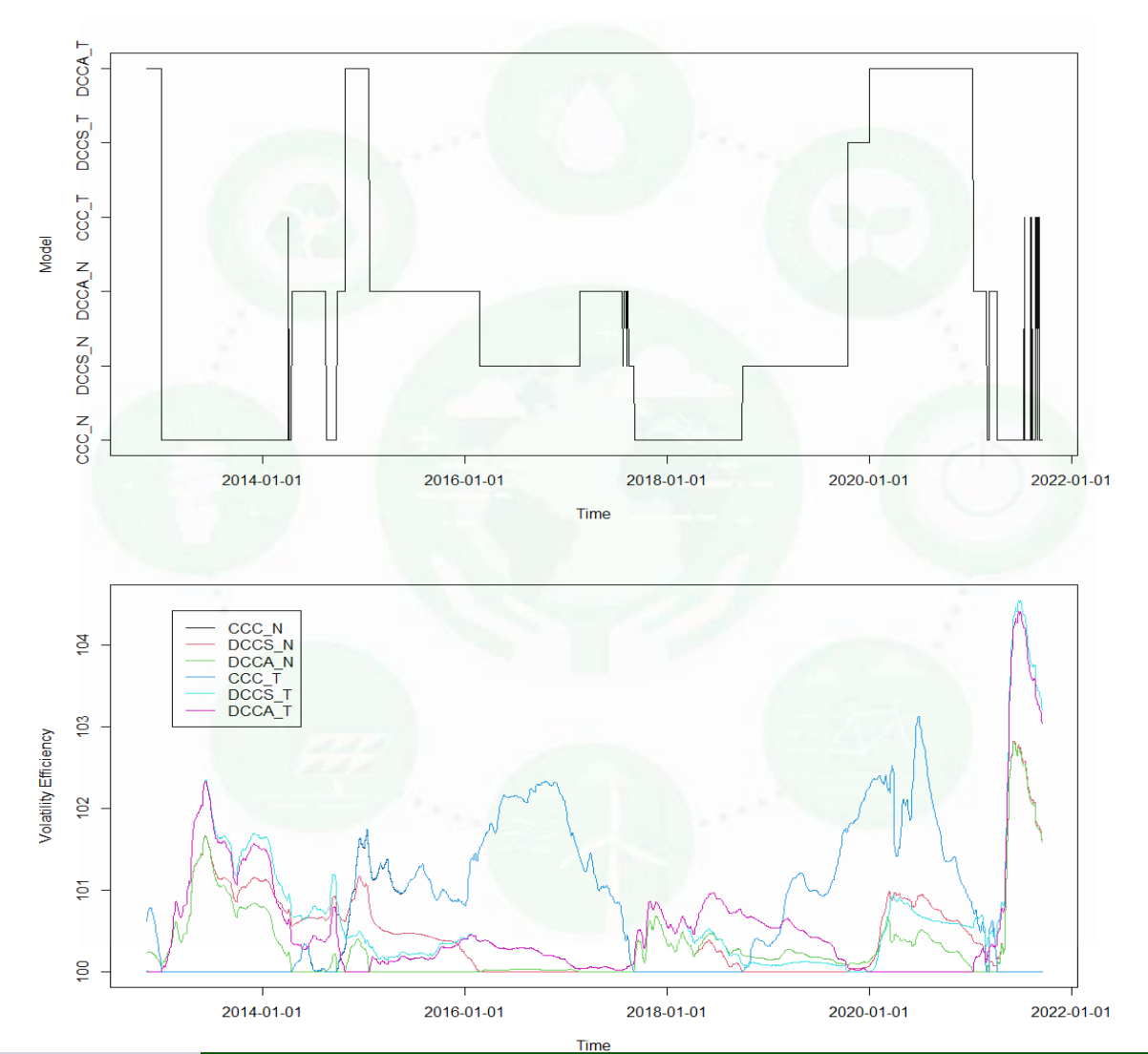
Distribución normal multivariante

t-Student multivariante

Ventana de estimación  $h_1 = 504(2 \text{ años})$ Ventana de selección

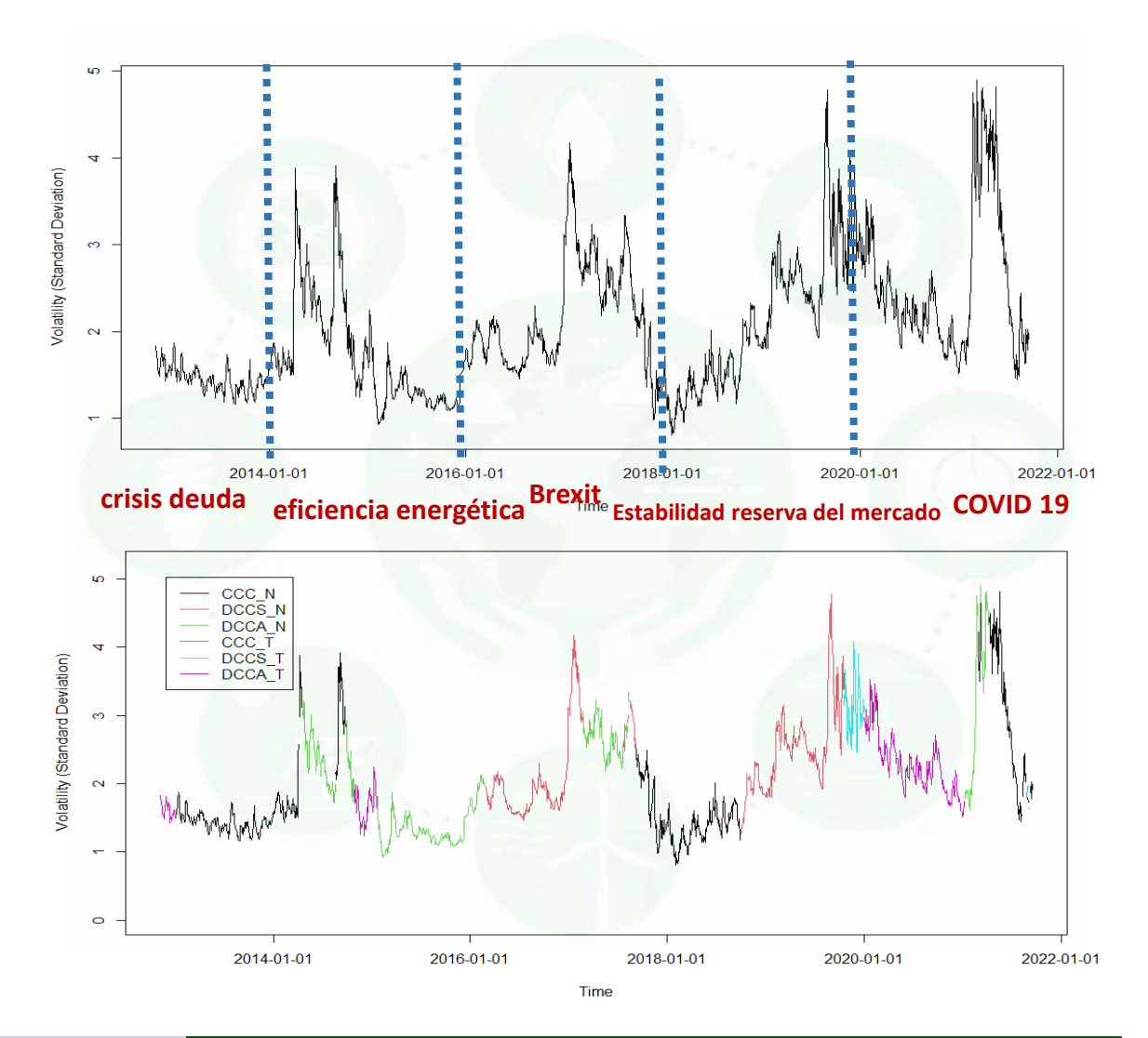
 $h_2 = 252 (1 \text{ año})$ 





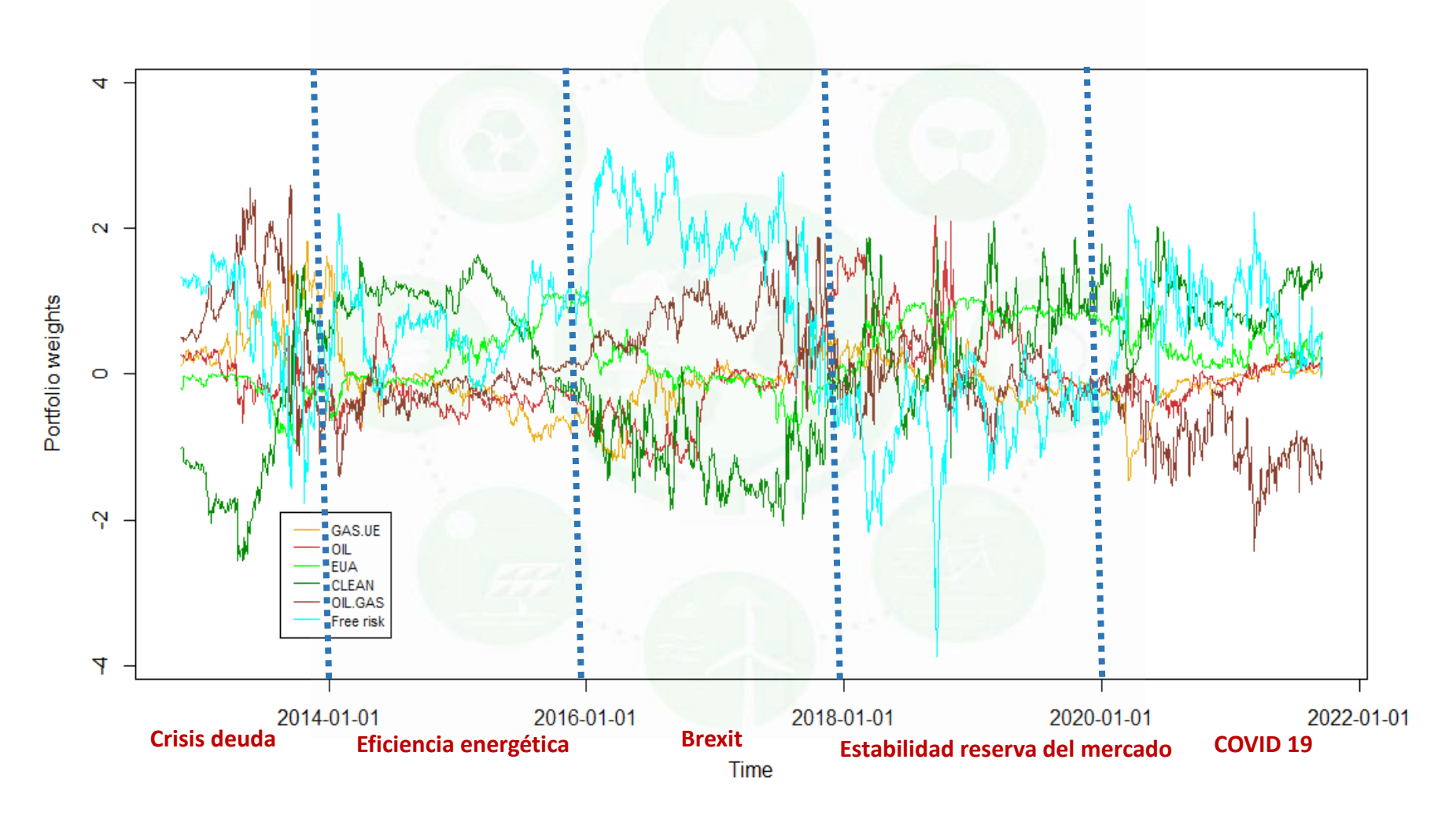








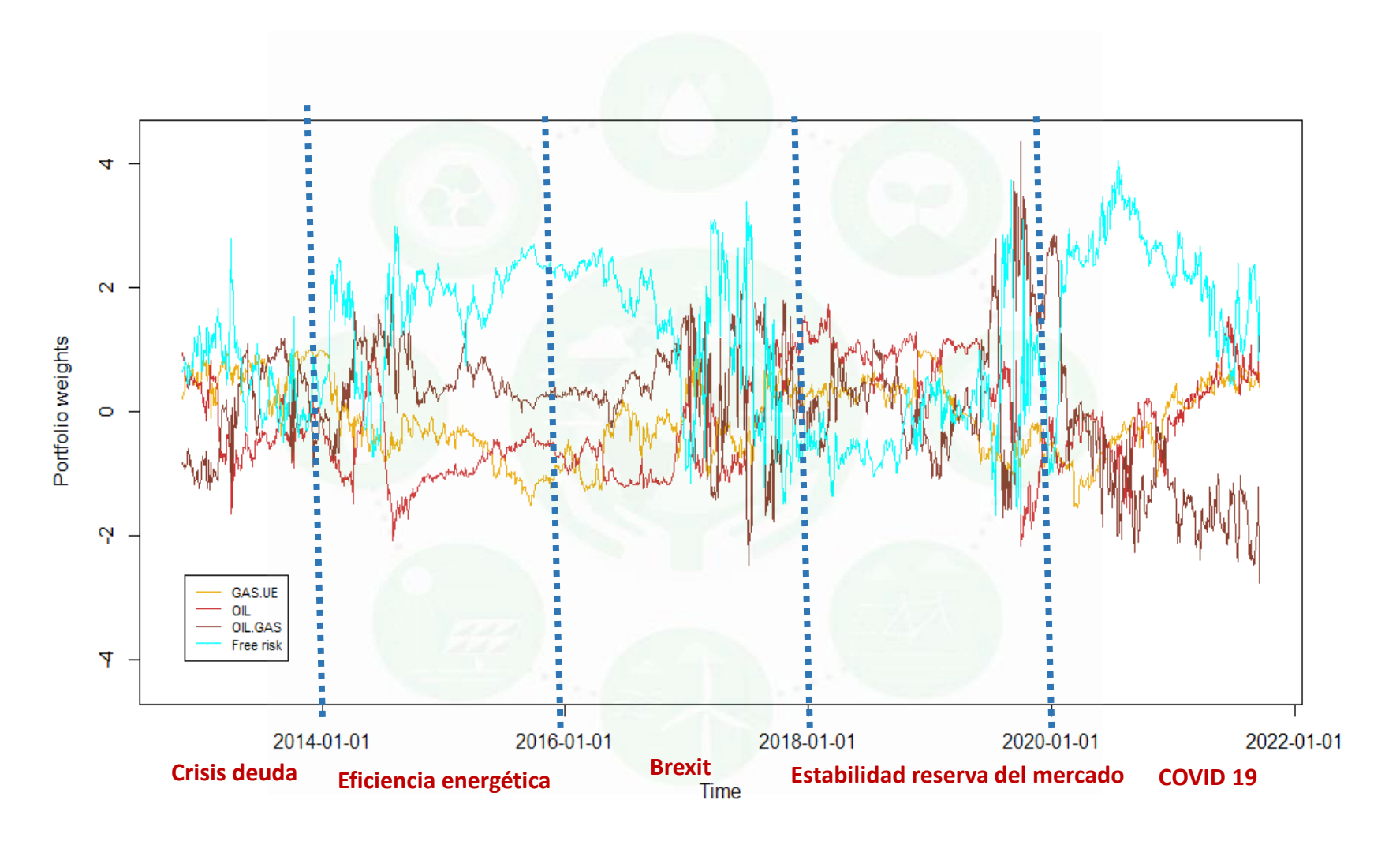








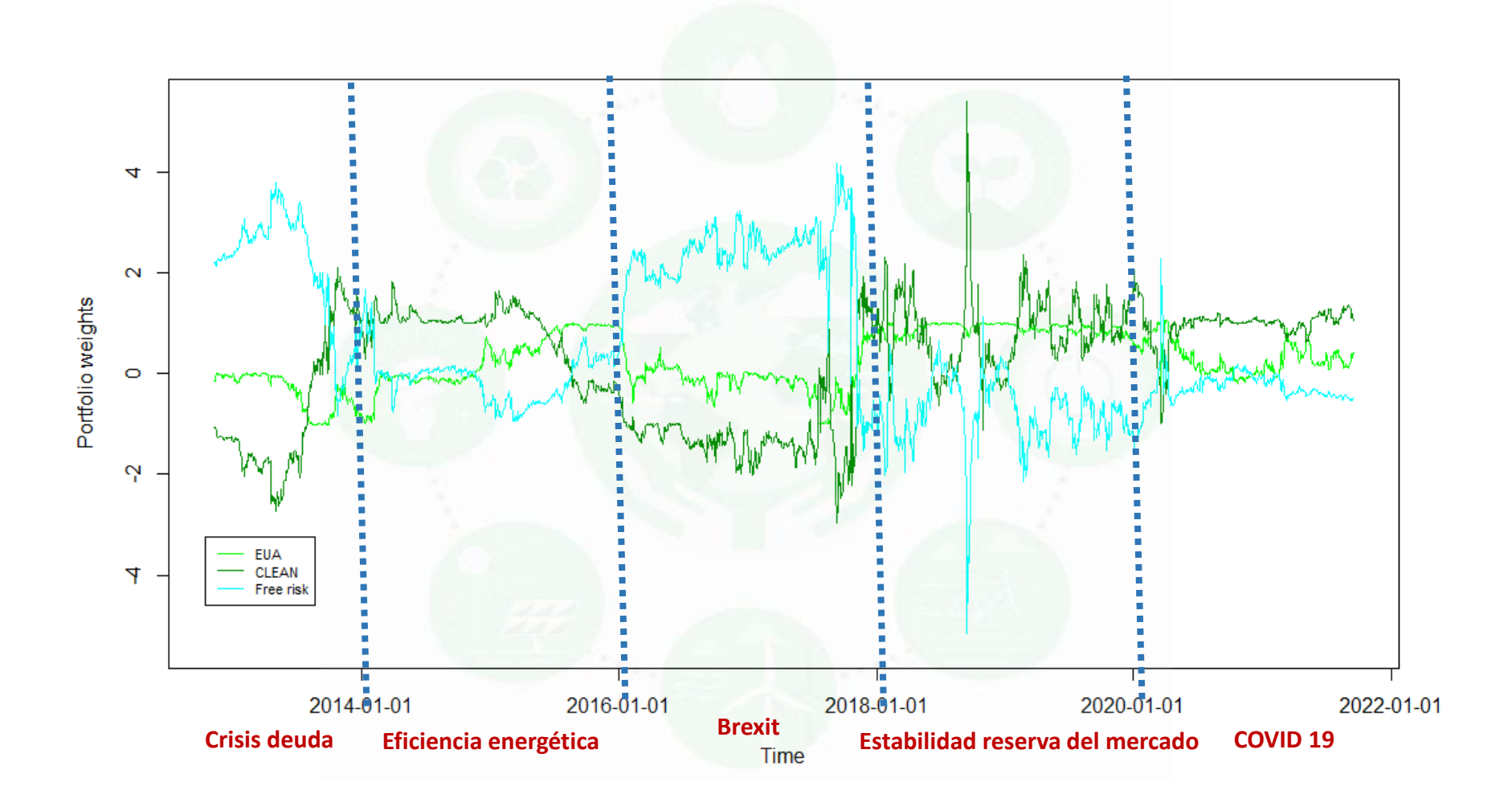
### **CARTERA SUCIA**







### **CARTERA LIMPIA**





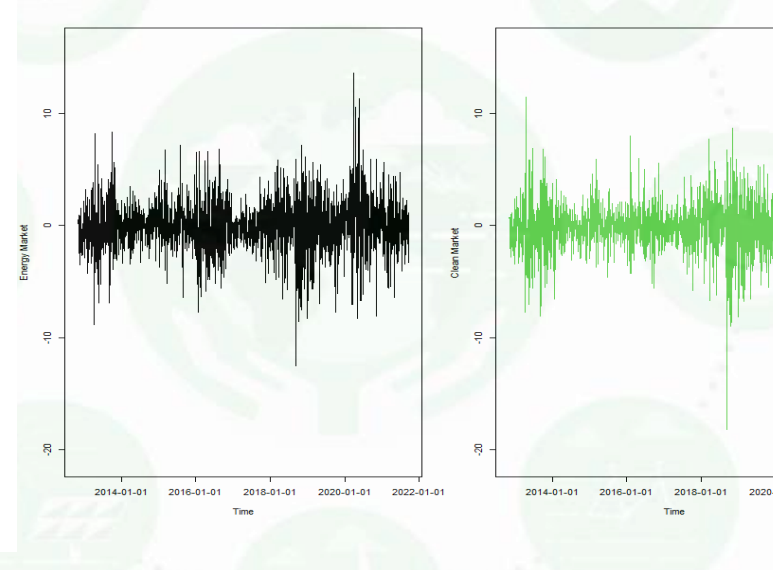


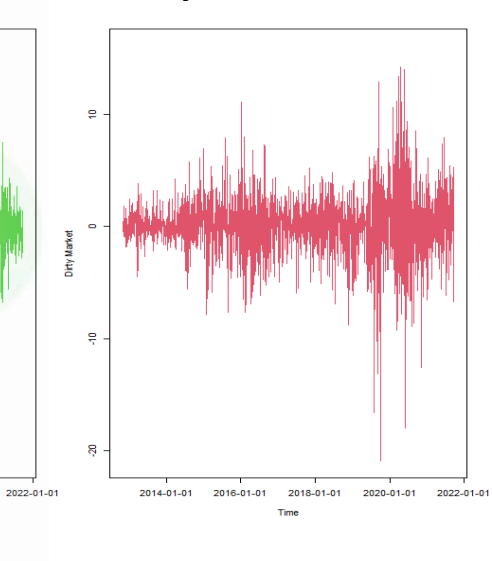
#### **Diebold y Mariano**

0(1)(2)		-	
$t_u = \frac{\widehat{\beta}_u^{(1),(2)}}{\sqrt{\widehat{\beta}_u^{(1),(2)}}}$	ENERGY	CLEAN	DIRTY
$\sqrt{\operatorname{Var}\left(\widehat{\beta}_{\mathrm{u}}^{(1),(2)}\right)}$	MARKET	MARKET	MARKET
ENERGY		0,500	-2,718
MARKET		0,300	-2,710
CLEAN	0.500		2.454
MARKET	0,500		-2,454
DIRTY	2 71 9	2.454	
MARKET	2,718	2,454	

$t_v = \frac{\widehat{\beta}_v^{(1),(2)}}{\sqrt{\operatorname{Var}(\widehat{\beta}_v^{(1),(2)})}}$	ENERGY	CLEAN	DIRTY
Var(By	MARKET	MARKET	MARKET
ENERGY		-0,459	-3,576
MARKET		-0,439	-3,370
CLEAN	0,459		2 771
MARKET	0,439		-2,//1
DIRTY	3,576	2.771	
MARKET	3,370	2,//1	

### PERIODO COMPLETO: 8/Noviembre/2012 al 17/Septiembre/2021







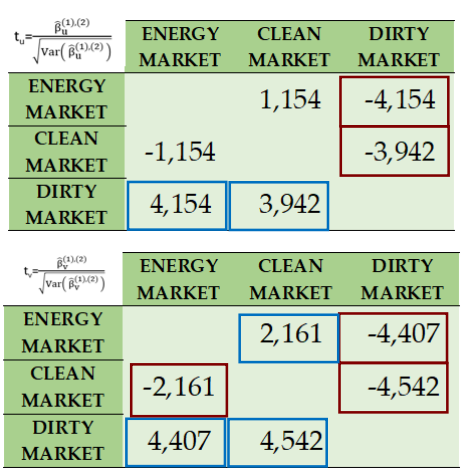


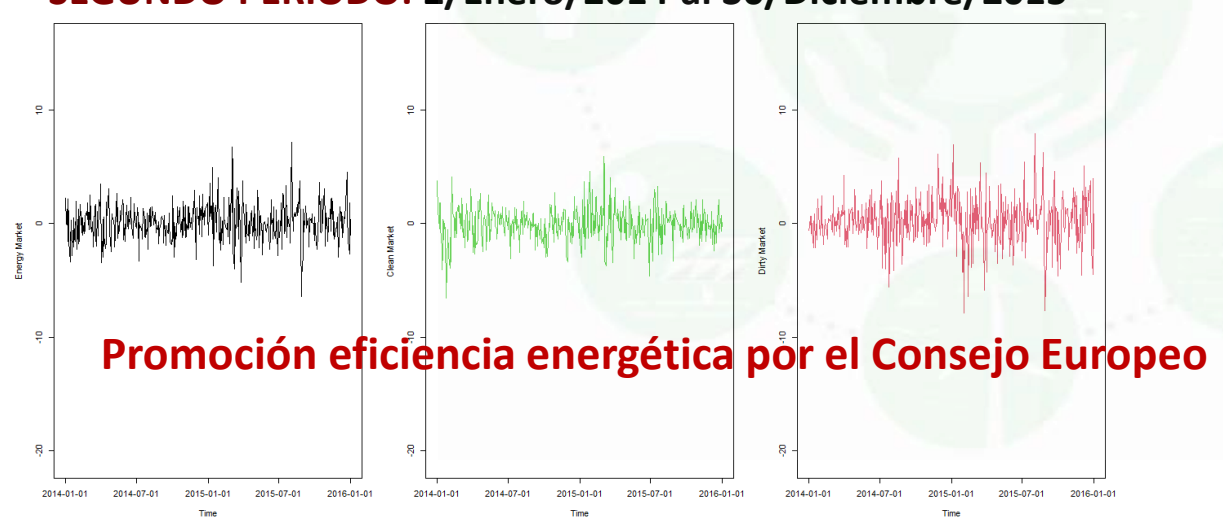
#### PRIMER PERIODO: 8/Noviembre/2012 al 30/Diciembre/2013

$t_{u} = \frac{\widehat{\beta}_{u}^{(1),(2)}}{\sqrt{\operatorname{Var}(\widehat{\beta}_{u}^{(1),(2)})}}$	ENERGY	CLEAN	DIRTY
$\sqrt{\operatorname{Var}\left(\beta_{\mathbf{u}}^{(1),(2)}\right)}$	MARKET	MARKET	MARKET
ENERGY		-2,647	4,952
MARKET		-2,047	1,702
CLEAN	2,647		4,635
MARKET	2,047		1,000
DIRTY	-4,952	-4,635	
MARKET	-4,702	-1,000	
0(1)(2)			
$t_v = \frac{\widehat{\beta}_v^{(1),(2)}}{V_{avr}(\widehat{\beta}^{(1),(2)})}$	ENERGY	CLEAN	DIRTY
$t_{v} = \frac{\widehat{\beta}_{v}^{(1),(2)}}{\sqrt{\text{Var}\Big(\widehat{\beta}_{v}^{(1),(2)}\Big)}}$	ENERGY MARKET	CLEAN MARKET	DIRTY MARKET
$t_{v} = \frac{\hat{\beta}_{v}^{(1)(2)}}{\sqrt{\text{Var}(\hat{\beta}_{v}^{(1)(2)})}}$ <b>ENERGY</b>		MARKET	MARKET
, , , ,			
ENERGY	MARKET	MARKET	<b>MARKET</b> 4,809
ENERGY MARKET		MARKET	MARKET
ENERGY MARKET CLEAN	MARKET	MARKET	<b>MARKET</b> 4,809



### SEGUNDO PERIODO: 2/Enero/2014 al 30/Diciembre/2015

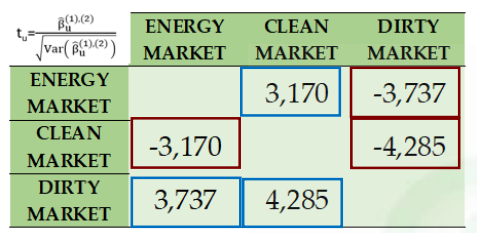








#### TERCER PERIODO: 4/Enero/2016 al 30/Diciembre/2017



$t_v = \frac{\widehat{\beta}_v^{(1),(2)}}{\sqrt{\operatorname{Var}(\widehat{\beta}_v^{(1),(2)})}}$	ENERGY	CLEAN	DIRTY
√var(β <sub>v</sub>	MARKET	MARKET	MARKET
ENERGY		3,256	-2,106
MARKET		3,230	-2,100
CLEAN	-3,256		-3,779
MARKET	-3,230		-3,779
DIRTY	2,106	3,779	
MARKET	2,100	3,779	

-10 - 10 - 10 - 10 - 10 - 10 - 10 - 10	-10 O 10	-10 0 10 10 10 10 10 10 10 10 10 10 10 10
R -	Brexit	8 -
2016-01-01 2016-07-01 2017-01-01 2017-07-01 2018-01		

$t_u = \frac{\widehat{\beta}_u^{(1),(2)}}{\widehat{\beta}_u^{(1),(2)}}$	ENERGY	CLEAN	DIRTY
$v_u = \sqrt{Var(\hat{\beta}_u^{(1),(2)})}$	MARKET	MARKET	MARKET
ENERGY		-1,669	-0,910
MARKET		-1,009	-0,910
CLEAN	1,669		-0,270
MARKET	1,009		-0,270
DIRTY	0,910	0,270	
MARKET	0,910	0,270	

$t_v = \frac{\widehat{\beta}_v^{(1),(2)}}{\sqrt{\text{Var}(\widehat{\beta}_v^{(1),(2)})}}$	ENERGY	CLEAN	DIRTY
Var(Bv	MARKET	MARKET	MARKET
ENERGY		-2,060	0.224
MARKET		-2,000	0,224
CLEAN	2,060		0,620
MARKET	2,000		0,020
DIRTY	-0.224	-0.620	
MARKET	-U,ZZ <del>4</del>	-0,020	

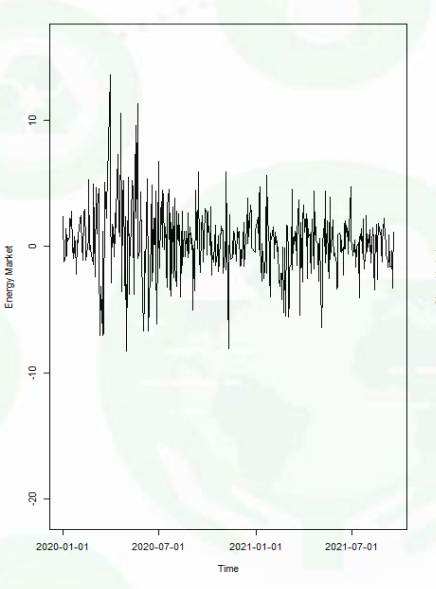


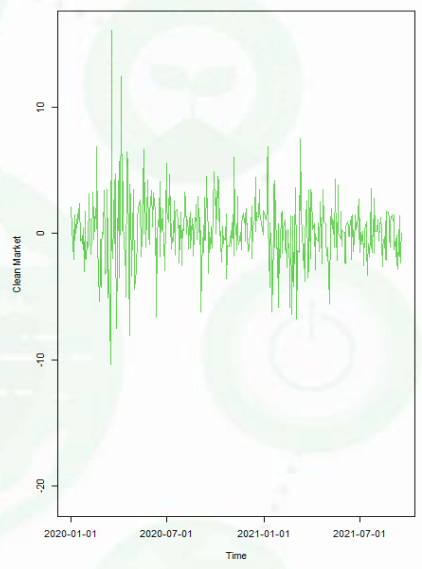


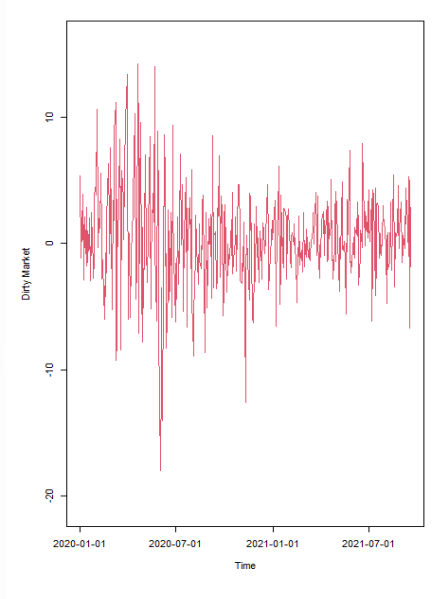
### QUINTO PERIODO: 2/Enero/2020 al 17/Septiembre/2021

$t_{} = \frac{\widehat{\beta}_{u}^{(1),(2)}}{\widehat{\beta}_{u}^{(1)}}$	ENERGY	CLEAN	DIRTY
$\sqrt{\operatorname{Var}\left(\widehat{\beta}_{\mathbf{u}}^{(1),(2)}\right)}$	MARKET	MARKET	MARKET
ENERGY		0,695	4.090
MARKET		0,093	-4,000
CLEAN	-0,695		2 660
MARKET	-0,093		-3,660
DIRTY	4.090	2 660	
MARKET	4,080	3,660	
$t_v = \frac{\widehat{\beta}_v^{(1),(2)}}{\widehat{\beta}_v^{(1),(2)}}$	ENERGY	CLEAN	DIRTY
$\int Var(\widehat{\beta}_{V}^{(1),(2)})$	MADIZET	MADVET	MADIET

$t_v = \frac{\widehat{\beta}_v^{(1),(2)}}{\widehat{\beta}_v^{(1),(2)}}$	ENERGY	CLEAN	DIRTY
$\sqrt{\operatorname{Var}\left(\widehat{\beta}_{V}^{(1),(2)}\right)}$	MARKET	MARKET	MARKET
ENERGY		0,266	-5,015
MARKET		0,200	-5,015
CLEAN	0.266		5 522
MARKET	-0,266		-5,522
DIRTY	5.015	5 522	
MARKET	5,015	5,522	







**COVID 19** 

### **CONCLUSIONES**

- En cuanto a la composición de las carteras se observa que a partir de 2020 con la introducción de la reserva de estabilidad del mercado que ha hecho posible unos precios del carbono más altos y estables, parece haber ayudado a impulsar la inversión en energías limpias, mostrando en los pesos de las mismas una tendencia creciente tal vez porque además de ser fuentes de energías limpias e inagotables son cada día más competitivas.
- Se han encontrado diferencias significativas que indican que invertir sólo en energías fósiles no parece aconsejable ya que se incrementa el riesgo. Pero que no se aprecian diferencias significativas entre los riesgos de invertir solo en energías limpias frente a una cartera que combine ambos tipos de energías.
- O Por tanto, si un inversor decide apostar por activos financieros para colaborar con la transición energética hacia energías renovables que son inagotables y no contaminan, no debería estar preocupado puesto que parece una buena opción. Invertir sólo en acciones de empresas del sector de las energías limpias no es más arriesgado.



# **FUTURAS LÍNEAS DE INVESTIGACIÓN**

- A pesar de que los modelos han ido cambiando a lo largo del tiempo, no ha habido mucha diferencia entre ellos salvo en periodos puntuales, ......por ello, con el fin de ser más parsimoniosos, queremos cambiar de modelo no diariamente sino cada cierto tiempo, por ejemplo, trimestralmente, que se adapta mejor a como rehacen sus carteras los gestores de fondos de inversión.
- Queremos probar con más tamaños de ventanas de selección: trimestres, semestres, etc.
- Queremos incorporar el valor de riesgo que tenga en cuenta la incertidumbre asociada a los pesos de selección.

